

وزارة التعليم و البحث العلمي  
Ministère de l'Enseignement et de la Recherche Scientifique

1ex

## ECOLE NATIONALE POLYTECHNIQUE

DEPARTEMENT : GENIE SANITAIRE

BIBLIOTHEQUE — المكتبة  
Ecole Nationale Polytechnique

## PROJET DE FIN D'ETUDES

### SUJET

INFLUENCE DE L'ACTIVATION  
THERMIQUE SUR LA FIXATION DU  
CHROME HEXAVALENT PAR LA  
BENTONITE — APPLICATION AUX  
REJETS DE LA SNVI.

Proposé par :

Mr. BENAZOUZ

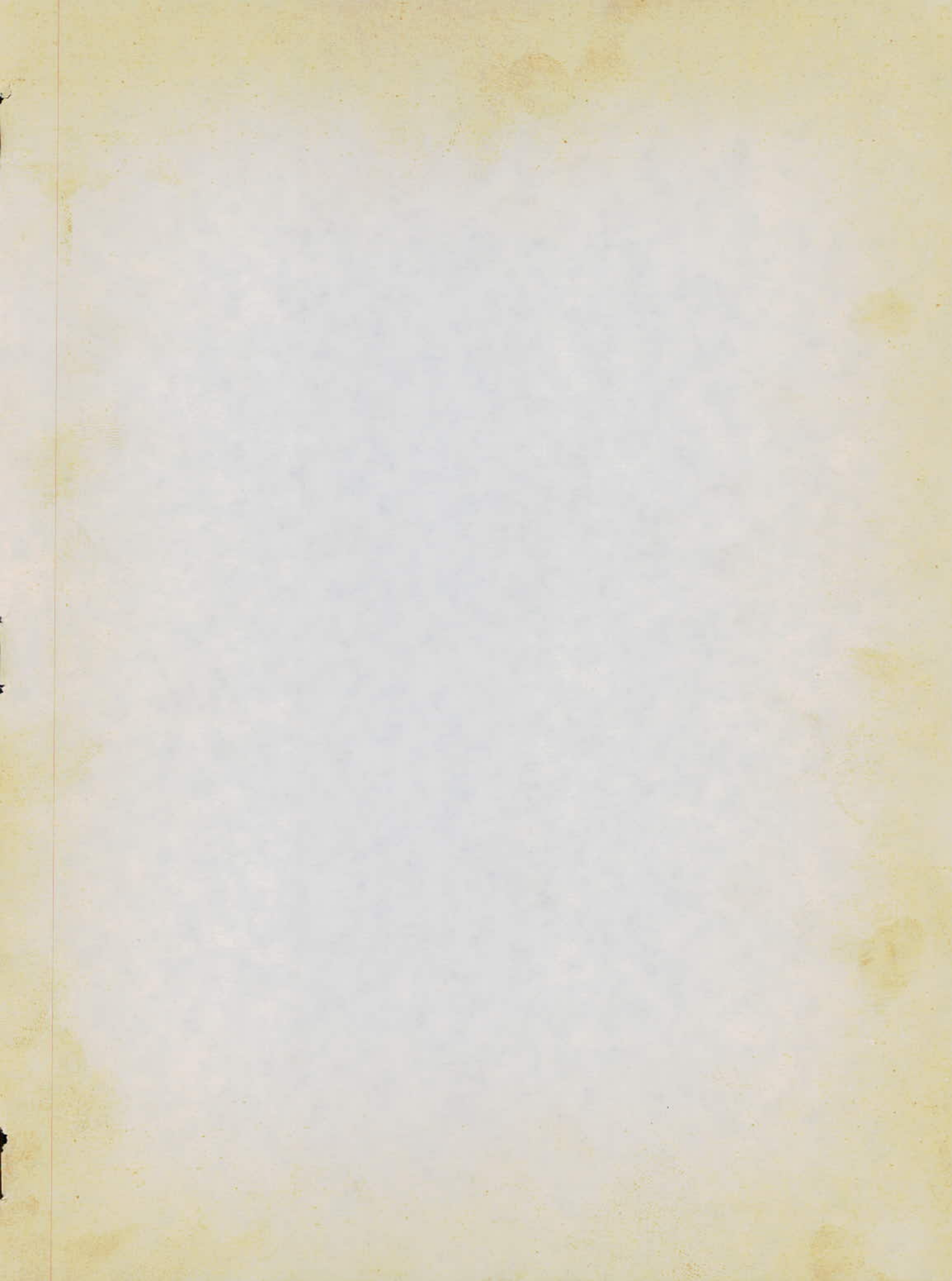
Etudié par :

L. MAHMOUDI

Dirigé par :

HAMDI  
et  
BENAZOUZ

PROMOTION : JUIN 87



الجمهوريّة الجزايريّة الديموقراطية الشعوبية  
REPUBLIQUE ALGERIENNE DEMOCRATIQUE ET POPULAIRE

وزارة التعليم و البحث العلمي  
Ministère de l'Enseignement et de la Recherche Scientifique

## ECOLE NATIONALE POLYTECHNIQUE

المدرسة الوطنية المتعددة التقنيات  
BIBLIOTHEQUE — المكتبة  
Ecole Nationale Polytechnique

DEPARTEMENT : GENIE - SANITAIRE

## PROJET DE FIN D'ETUDES

### SUJET

INFLUENCE DE L'ACTIVATION  
THERMIQUE SUR LA FIXATION DU  
CHROME HEXAVALENT PAR LA  
BENTONITE — APPLICATION AUX  
REJETS DE LA SNVI.

Proposé par :

Mr. BENAZOUZ

Etudié par :

L. MAHMOUDI

Dirigé par :

HAMDI  
et  
BENAZOUZ

PROMOTION : JUIN 87

## REMERCIEMENTS

Mes remerciements vont tout d'abord à M<sup>me</sup> HAMDI  
à Mr Benazzouz, mon promoteur  
je tiens à remercier Mr KARDBACHI, chef de  
département au génie de l'environnement.  
je remercie également tout ceux qui ont d'une  
façon ou une autre contribué à l'aboutissement  
de ce modeste travail qui sans eux, n'aurait  
jamais vu le jour.

# TABLE DES MATIERIES

## CHAPITRE 1 - INTRODUCTION:

I Preambule.

II Présentation de l'atelier de tôleerie et d'Emballissage.

III Description du procédé de traitement des eaux résiduaires à la SNVI.

IV Objectif de l'étude.

الدرسة الوطنية المتعددة التقنيات  
المكتبة —  
BIBLIOTHEQUE —  
Ecole Nationale Polytechnique

## CHAPITRE 2: TOXICITE DU CHROME ET NORMES

### I/ Toxicité:

- effet biologique sur l'homme.
- effet biologique sur le monde aquatique.
- effet biologique sur les végétaux.

### II/ NORMES

## CHAPITRE 3: PARTIE BIBLIOGRAPHIQUE:

### A: CHROME:

I/ Propriétés physiques et chimiques du chrome.

II/ Procédés de traitements des eaux chromiques.

- Procédé statique et procédé en circulation continue.
- Procédé par échange ionique.

### B: BENTONITE:

I/ Structure et composition

II/ Échange ionique dans les argiles.

## - Introduction

- facteurs agissant sur l'échangeabilité des cations

III/ Le Cristalle de Montmorillonite en suspension

IV/ Cinétique hétérogène et réaction d'échange :

- généralités.

- Processus d'échange et équilibre chimique

V/ Pouvoir d'adsorption

VI/ Propriétés thermiques de la bentonite.

VII/ Propriétés physicochimiques de la B4.

## CHAPITRE 4:

I/ Préparation et dispositif d'étude d'échantillons de la bentonite (B4).

II/ Rappel et généralités sur la fixation de protons sur la bentonite (B4 séchée à 100°C).

## CHAPITRE 5: FIXATION DE PROTONS SUR LA BENTONITE (TEST SUR 4 ECHANTILLONS DE B4)

I/ Cinétique de fixation en fonction du rapport  $\frac{V}{m}$ .

(V: volume de la bentonite , m : masse de B4 introduite)

II/ Evolution de capacité de fixation en fonction de  $\frac{V}{m}$ .

III/ Influence de l'acidité sur la nature et sur la cinétique de fixation.

## CHAPITRE 6: FIXATION DU Cr<sup>VI</sup> SUR LA BENTONITE

### (TEST SUR BENTONITE ACTIVE THERMIQUEMENT)

- I/ MODE D'Analyse choisi pour le dosage du Cr<sup>VI</sup>.
- II/ Influence de rapport  $\frac{V}{m}$  sur le taux de fixation.
- III/ Cinétique de fixation.
- IV/ Influence de la concentration sur la quantité du Cr<sup>VI</sup> fixée sur une masse de B<sub>4</sub> constante.
- V/ Influence du pH sur la capacité de fixation de la bentonite.

## CHAPITRE 7: TRAITEMENT DES EAUX RÉSIDUAIRES DE L'ATELIER TE

- I/ Echantillonage.
- II/ Analyses effectuées sur l'échantillon.
- III/ Résultats et Interprétation

## CHAPITRE 8: DECANTABILITÉ DE LA BENTONITE

- I/ Mode opératoires
- II/ Résultats et Interprétation

## GÉNÉRALITÉS ET RECOMMANDATIONS

## CHAPITRE 1 °

### **INTRODUCTION**

I - Preamble .

II - Présentation de l'atelier de tolérance  
et Emboutissage .

III - Description du procédé de traitement  
des eaux résiduaires à la S.N.V.I.

IV - Objectif de l'étude .

# § I/ INTRODUCTION :

## I. PREAMBULE :

- L'industrialisation a causé des problèmes sérieux à cause de la pollution qui a touché l'air, l'eau et l'environnement d'une façon générale.

Les sources de cette pollution sont nombreuses et diverses. En ce qui concerne la pollution des eaux, la plus grave est celle qui est due à l'intoxication par les métaux lourds, qui ne sont en aucun cas soumises à l'autopurification, comme le mercure, le plomb, le cadmium et leurs dérivés.

Leurs effets varient selon leurs concentrations, leur forme chimiques et les caractéristiques physiques et chimiques de l'eau.

L'homme peut être intoxiqué, soit par voie directe: par la consommation de l'eau contaminée, soit indirectement par les aliments d'origine animale ou végétale contaminés par ces métaux.

Egalement il y a (eaux contaminées) un effet nocif considérable sur l'environnement: généralement traduit par la diminution de rendement des sols agricoles. Il est évident, donc, que la pollution cause des dégâts économiques et pousse

la vie de l'humanité vers un véritable désastre.  
Devant cette situation qui s'aggrave avec le développement industriel inconsistant et inconséquent, il est nécessaire d'arrêter des mesures et des méthodes scientifiques pour lutter contre la pollution afin d'assurer un milieu sain et une vie humaine décente.

## II) PRESENTATION DE L'ATELIER TOLERIE ENBOUTISSAGE

- Notre but est d'étudier la pollution causée par le Batiment tolérerie et emboutissage (TE).

- L'atelier est composé par :

### • ① Ligne peinture cabines:

- des cabines fermées, complétées des éléments à peindre sont insonorisées ensuite aspergées du liquide dégraissant. Elles sont lavées, rinçées abondamment avec le liquide rinçant phosphatant.

- L'étape suivante est le rinçage au lance chromatant. Il est destiné de procéder à un érosage si jamais la température ambiante est relativement élevée. Finalement, les cabines passent au séchage dans l'étuve ( $80^{\circ}\text{C}$ ). Tout ce procédé concerne le traitement des surfaces des cabines, à savoir le phosphatage, le dégraissage, le rinçage, et le séchage.

Deux produits principaux sont utilisés pour peindre les surfaces ; le Blancomme et le valentine.

### • ② Ligne peinture petites pièces:

- Elle comprend deux installations :

- a) Une installation de décapage, des outillages et de désemillage des pièces, dont le processus est la trempe de ces derniers, dans un bassin de soude à 35% à 100°C.
- b) La suivante concerne le traitement de surface de ces pièces. La chaîne comprend huit bacs; chacun avec une capacité de 5000 l.

Bac	produits utilisés	vidange.
Bac de <u>dégraissage</u>	Eau Industrielle	tout les 1 à 2 jours
Bac de <u>décapage</u> à froid	Acide chloridrique	En fonction de la teneur en fer
Rincage à froid	Eau Industrielle	toute les 1 à 2 jours
Rincage à chaud	Sels neutralisant + eau industrielle.	
Phosphatation	Bonderite 880	
Rincage à froid	Eau Industrielle	tout les 1 à 2 jours
Chromatage	L'Acide chromique hebdomadaire	À la fin de la semaine.

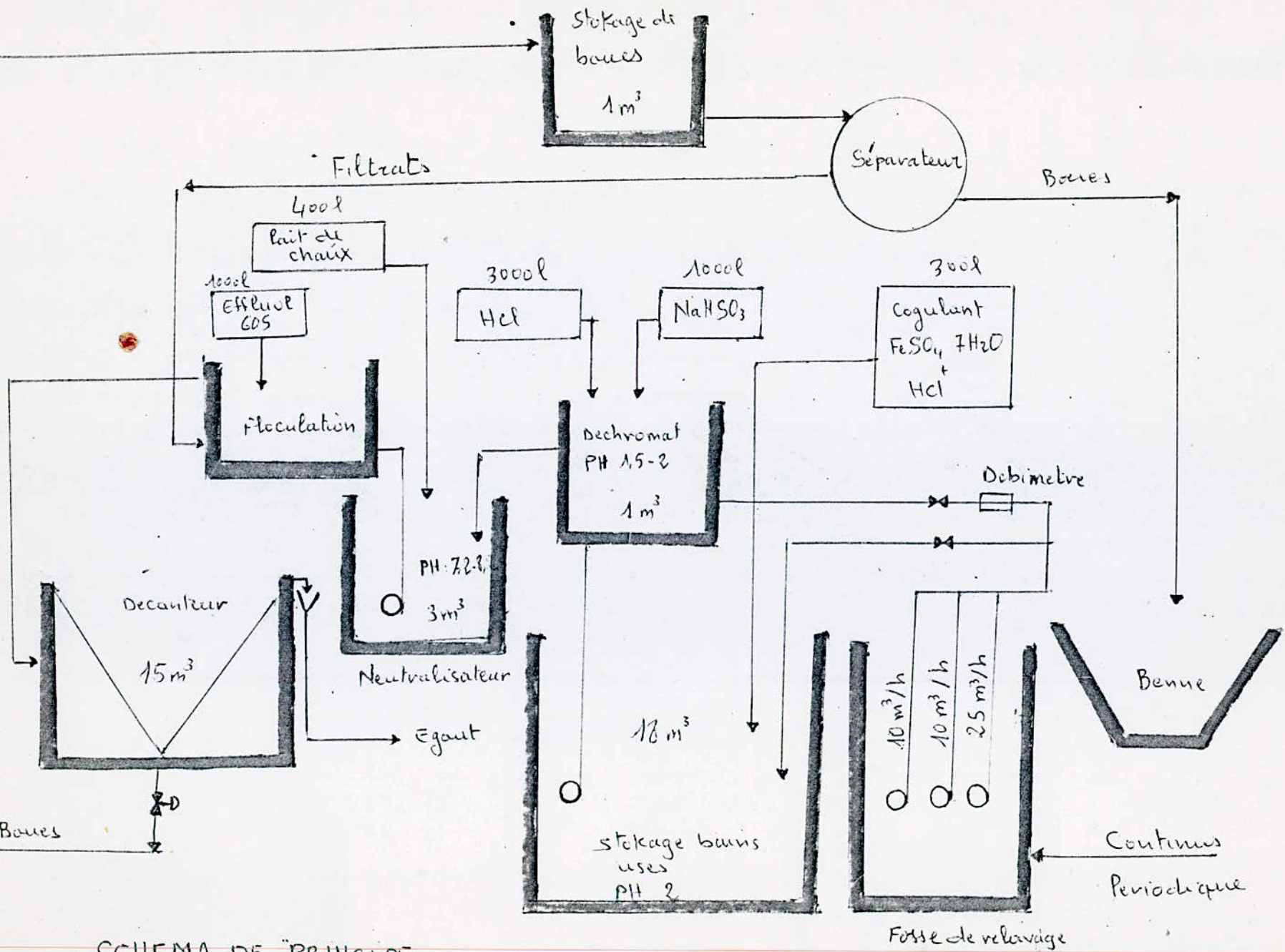
### III. DESCRIPTION DU PROCÉDÉ DE TRAITEMENT DES EAUX À LA SNVI 8

X - des eaux usées sont stockées dans une fosse de reprise. (À partir du <sup>puis</sup> quoi) elles passent pour la coagulation. L'agent coagulant utilisé par l'entreprise est  $[FeSO_4 + H_2O + HCl]$ .

La déchromatation qui constitue la deuxième étape du traitement se déroule en milieu acide ( $pH < 2$ ) acidifié par l'acide chlorhydrique à 35% et en présence d'un réducteur ( $NaHSO_3$ ). La réduction du  $Cr^{VI}$  en  $Cr(III)$  se fait en 15 minutes environ.

Elle permet de réduire le taux de toxicité, compte tenu que le  $Cr(III)$  est beaucoup moins toxique que le  $Cr(VI)$ . Le  $Cr(III)$  est récupéré sous forme de précipité de  $Cr(OH)_3 \downarrow$ . L'effluent est neutralisé soit par la chaux soit par  $H_2SO_4$  suivant l'état de son  $pH$ . Après la neutralisation les eaux passent pour la flocculation, qui se fait à l'aide de l'effluel 605 et finalement elles passent à la décantation.

Le traitement des boues est réalisé à l'aide d'un séparateur rapide centrifuge (voir schéma).



les filtrats sortant du opérateur sont recyclés à l'entrée de flocculation (voir schéma). Les boues rencontrées écouleront gravitairement dans une berme.

#### IV- OBJECTIFS DE L'ÉTUDE : ( $\rightarrow$ Introduction)

- Cette thèse s'inscrit dans le cadre des recherches visant à trouver des méthodes scientifiques, efficaces et économiques pour la lutte contre la pollution des eaux, et en particulier les eaux qui renferment des métaux lourds.

Le sujet que nous allons traiter, consiste à connaître l'aptitude de fixation de Cr<sup>VI</sup> sur une argile appelée bentonite symbolisée par B<sub>4</sub>, exploitée d'un gisement à Mostaganem. La B<sub>4</sub> considérée dans notre étude, est présentée par quatre échantillons activés thermiquement; chacun à une température différente.

Les températures du traitement sont les suivantes: 200°C, 300°C, 400°C et 500°C.

( De ce qui a été dit se pose une question dont la réponse est l'objectif de notre étude.

Quel est l'échantillon qu'on utilise ainsi que le procédé, la durée du contact, et la masse du B<sub>4</sub> qu'on doit appliquer pour des concentrations en Cr<sup>VI</sup> connues, afin d'avoir un bon rendement au point de vue technique et économique.

## CHAPITRE 2°

# **TOXICITE D'EAU CHROME et NORMES**

**I - Toxicité**

**II - Normes**

- 8 -

## II TOXICITE DU CHROME, ET NORMES TOLERERES DANS LES EMISSAIRES

### - EFFET BIOLOGIQUE SUR L'HOMME (20.34):

- L'acide chromique, les chromates, et les bichromates alcalins, provoquent des ulcérations nasales, ulcérations cutanées et dermites, eczematiforme chromique ou vecidivante.

Ils provoquent des problèmes respiratoires comme l'asthme ou dyspnée asthmatiforme.

La dose mortelle la plus faible de bichromate de potassium est 0,25 mg à 0,3 mg, 0,05 mg provoque déjà des troubles gastriques et de l'œnrite (20).

Les travailleurs dans les fabriques du chromate et de bichromate ou dans les usines de bichromage électrolytique sont exposés à une intoxication chromique dont il en résulte différents troubles tel que la diminution du nombre des hématies qui peut atteindre 40%, l'état peut s'aggraver jusqu'à une profonde anémie.

L'effet du chrome trivalent sur l'homme est expliqué par sa forte liaison avec les protéines, quand sa

concentration est suffisante.

## TOXICITE VIS À VIS DU MONDE AQUATIQUE ( 20 ) :

### - INTRODUCTION :

- D'une manière générale la toxicité des éléments métalliques vis à vis du monde aquatique varie suivant plusieurs facteurs dont principalement la forme sous laquelle se trouve, l'élément et les espèces cibles entrants en jeu, également les caractéristiques physiques et chimiques du milieu (dureté, température, pH, Turbidité, concentration en oxygène dessous et en gaz carbonique).

### - LES EFFETS NOCIFS :

- La photosynthèse de certains algues par exemple cystis pyrifera est très sensible au chrome hexavalent; pour une concentration de 1mg/l on constate une réduction de la photosynthèse de 10 à 20% après 5 jours de contact et de 20 à 30% après 7 à 9 jours une concentration de 5mg/l peut réduire la photosynthèse de 50% en quatre jours de contact par contre les alynes sont moins sensibles au (Cr(III)). [Micropolluant (2.0.)]. Les bactéries sont plus résistants.

que les algues, en effet les concentrations bactéricides sont dans l'ensemble élevées et éloignées des taux normalement rencontrés dans les eaux ( $8 \text{ mg/l}$ ) pour Cr (VI) et  $20 \text{ mg/l}$  pour Cr (III). D'après le water quality criteria (6,700) les poissons sont plus résistants que les autres espèces aquatiques aux sels du chrome. Pour le dichromate la concentration mortelle varie entre 5 et  $200 \text{ mg/l}$  selon les différentes sortes de poissons, pour les chromates cela varie entre 9 et  $280 \text{ mg/l}$ .

## EFFET BIOLOGIQUE SUR LES VÉGÉTAUX

L'action toxique des sels chromiques sur les végétaux se manifeste par un dépréciement général de toutes les parties du végétal, et par une destruction graduelle de l'appareil chlorophyllien. Les composés du chrome trivalent sont toute fois infinitélement moins toxiques que les acides chromiques. (34)

Dans des essais de culture en sable avec des doses croissantes de chrome 10 à  $100 \text{ mg Cr}_2(\text{SO}_4)_3$ , d'après Shanner l'avoine et le seigle n'ont été affectés qu'à partir de  $100 \text{ mg Cr}$ . (34)

Le blé et le maïs se sont comportés de façon similaire, tandis que l'orge et le petit pois sont beaucoup plus sensibles vis à vis du chrome. Dans les cultures de maïs

dans l'eau, et jusqu'à concurrence de 1mg/l ce que on a le plus souvent obtenu des augmentations des récoltes, des doses plus importantes ont provoqué une forte dépréciation de la croissance et de rendement.

## II NORMES

Le tableau ci-dessous donne les teneurs limites acceptées du rejet dans un émissaire (34)

Pays	substance et paramètres	teneur limite
fédérale Almande	matière décantable	0,3 ml/l
	pH	6,5 à 9,0
	chrome total	2mg/l
Directive suisse	matière décantable	0,3 ml/l après 2h
	pH	6,5 à 8,5
	Cr(III)	2mg/l
	Cr(VI)	0,1 mg/l

## CHAPITRE 3 :

### PARTIE BIBLIOGRAPHIQUE

#### A : CHROME :

- I - Propriétés physiques et chimiques.
- II - Procédés de traitement des eaux chromiques

#### B : BENTONITE :

- I - Structure et composition
- II - Echange Ionique dans les argiles.
- III - Le cristal de Montmorillonite en suspension.
- IV - Cinétique hétérogène et réaction d'échange.
- V - Pouvoir d'adsorption.
- VI - Propriétés thermiques de la bentonite.
- VII - Propriétés physiochimiques de la  $B_4$ .

- 12 -

## → II PARTIE BIBLIOGRAPHIQUE

### → A CHROME

#### I → PROPRIÉTÉS PHYSICOCHIMIQUES ( 36 )

Le chrome technique ordinaire est plus dur de tous les métaux. Il a une couleur blanche griseâtre sa densité relative est de 7,2 à 20°C.

Point de fusion 1800°C.

Point d'ébullition est à 2500°C.

Conductibilité électrique est 7 (36)

Dans les conditions normales le chrome est inerte vis à vis de l'air et de l'eau.

#### → PROPRIÉTÉS CHIMIQUES

symbole	structure électronique	état d'oxydation
Cr	[Ar]3d <sup>5</sup> 4s <sup>1</sup>	I, II, III, IV, V, VI.

L'état d'oxydation zéro se manifeste dans les métaux carbonyles comme Cr(CO)<sub>6</sub>. [36]

Les composés chromiques Cr<sup>3+</sup> sont les dérivés du chrome les plus stables, on les rencontre fréquemment dans les complexes (

de coordination. En milieu acide le Cr(III) s'oxyde malgré sa faible stabilité en Cr(IV). Il se réduit à son tour en présence du réducteur en Cr(II). (1)

• des propriétés basiques, des composés du chrome changent en sens inverse avec le degré d'oxydation. Elles diminuent avec l'augmentation du degré d'oxydation comme exemple les composés Cr<sup>2+</sup> présente des propriétés basiques d'où la formation de Cr(OH)<sub>2</sub>, alors que les composés Cr(III) s'ionisent légèrement, donc, ils sont amphotères. Enfin les composés Cr(IV) sont de caractères acide, avec les solutions alcalines ils réagissent pour former les chromates (CrO<sub>4</sub><sup>2-</sup>).

• Le chrome forme des acides et des sels. Parmi les acides les plus importants nous avons l'acide chromique (H<sub>2</sub>CrO<sub>4</sub>) et l'acide dichromique (H<sub>2</sub>Cr<sub>2</sub>O<sub>7</sub>). En matière de sel les plus fréquents sont K<sub>2</sub>Cr<sub>2</sub>O<sub>7</sub> et le NaCr<sub>2</sub>O<sub>7</sub> · 2H<sub>2</sub>O qui servent de matière première pour les préparations d'autres dérivés. (1)

• Des solutions des sels de chrome trivalent sont vertes ou violettes alors que celles de chromate sont jaunes et oranges pour celles des dichromates. (3c)

## II- PROcéDÉS DE TRAITEMENT

- Il existe le procédé statique, c'est celui - qui est utilisé au traitement des eaux résiduaires de (TE). Les réducteurs utilisés sont surtout le bisulfate de sodium ( $\text{Na}_2\text{SO}_4$ ), le pyrosulfate ou l'acide sulfureux . Il existe aussi la detoxication avec circulation qui se fait de la même façon mais en <sup>circulation</sup> conteneur (3L) Les procédés ont quelques inconvénients qui sont cités ci dessous ( 3L ) :

- Comme la dilution du rejet est importante, nécessite des réservoirs de grandes dimensions .
- Des besoins en réactifs chimiques sont considérablement élevés.
- Utilisation d'un excès des réactifs chimiques et risque par suite de provoquer un empoisonnement des eaux résiduaires .

Le tableau ci-dessous donne les consommations théoriques de réactifs chimiques pour la réduction de 100 kg d'acide chromique .

réducteur	consommation théorique
sulfure ferreux cristallisé.	843 kg FeSO <sub>4</sub> + H <sub>2</sub> O + 234 kg H <sub>2</sub> SO <sub>4</sub>
sulfure ferreux anhydre. fer métallique.	456 kg FeSO <sub>4</sub> + // " "
Sulfite de sodium.	56 kg Fe + // " "
Dysulfite de sodium.	189 kg Na <sub>2</sub> SO <sub>3</sub> + 147 " "
acide sulfureux	156 kg NH <sub>4</sub> SO <sub>3</sub> + 74 " "
	96 kg de SO <sub>2</sub> .

### ~ MÉTHODE D'ÉCHANGEURS D'IONS : (32 et 34)

- La technique repose sur l'échange d'ions qui peut s'effectuer entre des ions en solution et ceux liés à certaines fonctions chimiques que contient l'échangeur.

La plus part des échangeurs utilisés actuellement sont des résines polymères constitués d'un squelette hydro-carbone sur lequel sont fixées les fonctions chimiques assurant la permutation des ions.

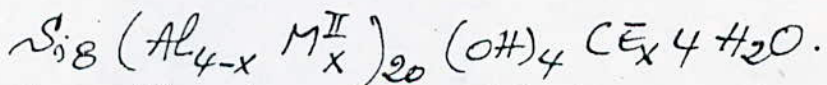
Les résines sont utilisées pour le traitement des eaux de rinçage des ateliers de galvanoplastie en vue de la récupération d'acide chromique et d'eau déminéralisée.

## B. BENTONITE :

### I - STRUCTURE ET COMPOSITION :

- La Bentonite est constituée de plus de 75% de la montmorillonite. Cette dernière est une famille des minéraux dont la structure est constituée des feuillets d'une épaisseur de  $10^{\text{A}^{\circ}}$ . La différence d'une famille à une autre s'exprime par l'épaisseur des feuillets et par la concentration des ions qu'ils contiennent.

La formule de la montmorillonite est donnée par CAUER et HENIN (14) sous forme de :



La montmorillonite est constituée par des cristaux très petits qui ne sont pas visibles aux rayons X.

La maille du réseau montmorillonitique donnée par :

HOFFMAN et ENDEL est décrite comme suit :

- Une structure centrale d'octaèdres d'aluminium disposé entre deux couches tétraédrique de silicium (fig. 2.1)

- La disposition des deux couches de tétraèdres

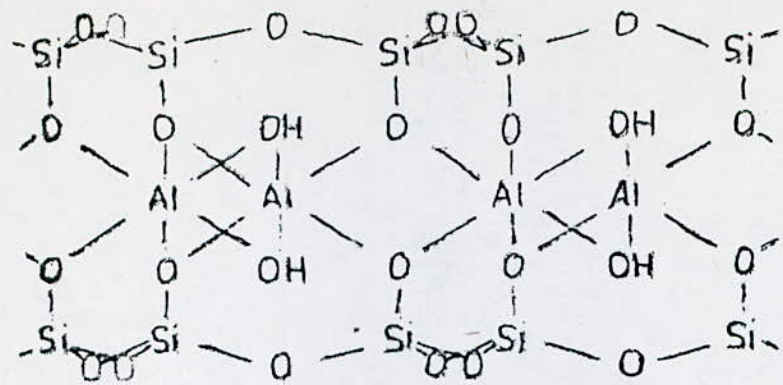


fig.2.1.

schéma structural de la montmorillonite, d'après Hofmann et Hendricks.

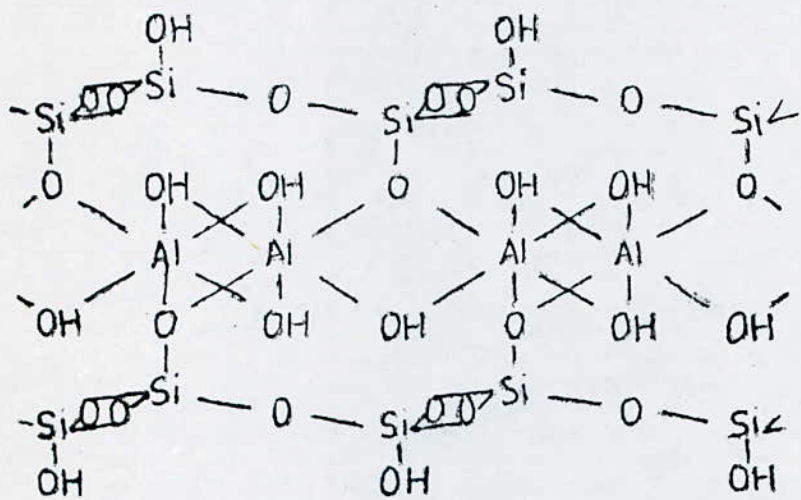


fig.2.2 Schéma d'Edeiman et Fanfani.

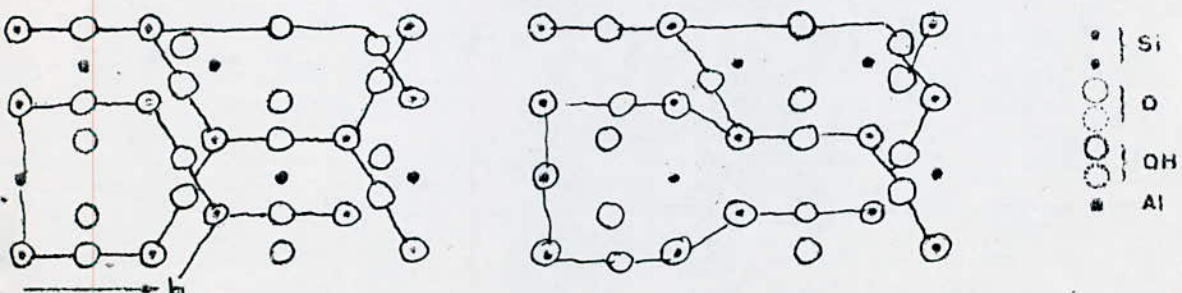


fig.2.3. Projection sur le plan a, b des atomes de la maille : groupe de symétrie C<sub>2</sub>B<sub>2</sub>E chez C2m (voire)

10

et de octaèdre <sup>est</sup> de telle façon que les sommets de chacune d'elles sont occupés par les atomes d'oxygène.

- Cette structure donne lieu à des liaisons fortes dans un plan et faibles dans un autre.

Les liaisons faibles permettent à l'eau de provoquer un écartement entre les feuillets ou un gonflement qui peut aboutir à un éclatement du réseau et par suite à une dispersion des feuilles en suspension colloïdale. La bentonite, comme on la déjà signalé, elle est constituée de 75% de Montmorillonite, le reste représente d'autres argiles de structures différentes à savoir l'illite et la kaolinite.

Le pourcentage varie d'une bentonite à une autre selon le gisement. Les différentes analyses (9) de Pousset, et de Magnia à l'état naturel sont illustrées dans le tableau suivant :

Composé	Roussel	Mayhnia <sup>1</sup>	Méila <i>mustaguenum</i> <sup>34</sup>
$\text{SiO}_2$	58,58%	51,52	65,83
$\text{Al}_2\text{O}_3$	20,87%	19,03	12,22
$\text{Fe}_2\text{O}_3$	2,22%	1,08	3,44
$\text{CaO}$	1,42%	3,09	4,57
$\text{MgO}$	5,05%	0,16	2,45
$\text{TiO}_2$	0,19%	-	0,48
$\text{Na}_2\text{O}$	1,50%	1,17	1,76
$\text{K}_2\text{O}$	0,56%	0,36	1,76
$\text{PbF}$	9,35%		6,89

## II.- ECHANGE IONIQUE DANS LES ARGILES

### INTRODUCTION :

- Toutes les argiles ont plus ou moins un pouvoir d'échange, celui-ci est particulièrement notable dans le cas des zéolites naturelles; On peut mieux comprendre cette propriété des aluminosilicates si l'on considère d'une part la molécule hydratée de la fig (a) qui n'a pas de pouvoir d'échange, et d'autre part l'entité chargée de la fig (b) qui résulte de la substitution d'un atome d'aluminium à un atome de silice dans une structure isomorphe;

20

cette extrémité du fait de sa charge retient plus ou moins  
légèrement les cations disponibles  $\text{Na}^+$ ,  $\text{Ca}^{++}$ ,  $\text{Mg}^{++}$  etc.

Les argiles sont des alumino-silicates ayant des struc-  
tures cristallines « poreuses » comportant de tel cations: (7)

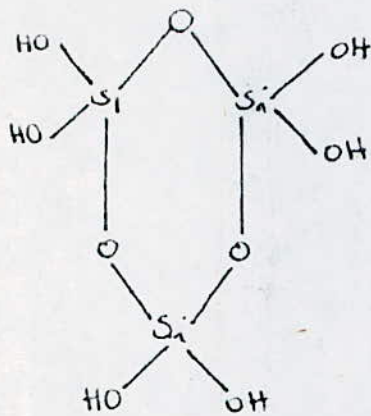


fig (a)

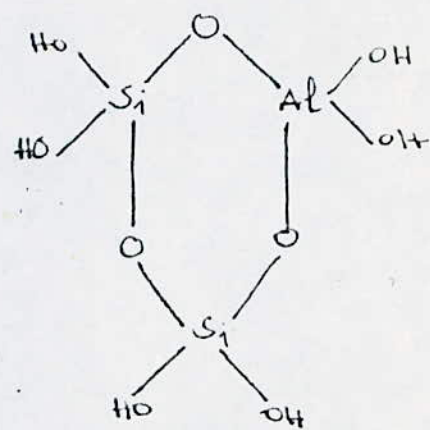


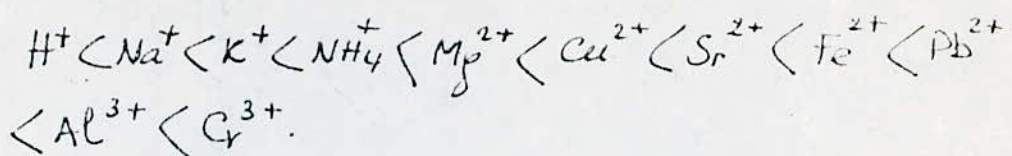
fig (b)

## FACTEURS AGISSANTS SUR L'ÉCHANGEABILITÉ DES CATIONS :

Il ya plusieurs facteurs qui déterminent  
l'échange des cations. On les resume comme suit:

- ① L'affinité du cation (4) : l'affinité de l'ion  
échargé joue un rôle important dans la fixation par  
le substrat. L'ordre donné en ce qui concerne différents  
cations montre la possibilité de fixation de proton à

l'égard d'autres cations :



De même dans le cas d'échangeur d'anion fortement basique on a établit le classement de différents anions comme suit :



### ② Nature du Sorbant ( 5 ) :

L'influence du sorbant sur l'échangeabilité du cation serait due à la capacité d'échange aux accidents de surface telles que les cavités hexagonales et la distribution des fonctions acides.

### ③ La Concentration :

plus la mobilité des cations en solution est élevée plus que la concentration est élevée. A faible concentration, l'ion de valence la plus élevée est plus accessible à la fixation. En revanche à concentration élevée le cation de valence inférieur l'emporte. Ce phénomène est approuvé par WIKLADER et KILLER

- 22 -

d'une part et par QUELLAN et DULLELANG d'autre part.

④ Nature des cations préexistants :

Le pouvoir de remplacement des cations en solution dépend des cations préexistants sur l'argile (10), certaines différences existent lorsqu'il s'agit de remplacer les ions  $\text{Ca}^{2+}$  ou  $\text{Mg}^{2+}$ .

⑤ Le degré de saturation et nature de l'ion complémentaire :

Selon WIKLADER (10) l'échangeabilité ou le pourcentage de remplacement d'un ion quelconque après addition d'une petite quantité d'un électrolyte est déterminé par :

- la facilité avec laquelle l'ion est libéré qui s'exprime par le coefficient d'activité de l'ion. Il est difficile de faire échange quand le coefficient d'activité est faible.

- La capacité d'échange cationique.
- La quantité d'ion remplacé.

⑥ Température :

D'après KELLY et BROWN (10) les réactions

d'échange sont un peu accélérées par une augmentation de température.

### III - LE CRISTAL DE MONIMORILLONITE EN SUSPENSION

#### AQUEUSE :

- La montmorillonite se disperse dans l'eau. On obtient une suspension dont les propriétés sont fonction des caractéristiques suivantes ( 9 ) .

- l'hydratation
- la granulométrie.
- l'absorption.
- l'échange chimique.

### IV - CINÉTIQUE HÉTÉROGÈNE ET RÉACTION D'ÉCHANGE

#### généralités :

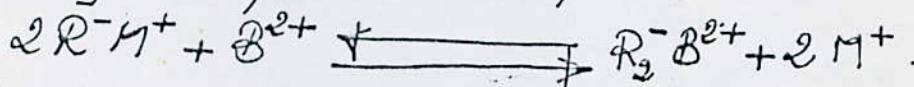
Quand la réaction se déroule entre phases différentes on dit qu'elle est hétérogène. En fait, il est souvent difficile de savoir dans quelle mesure une cinétique est homogène ou pas. Un mécanisme cinétique comprend souvent des étapes se faisant en phase homogène, et d'autres

en se faisant à la frontière de phases différentes. Aussi dans le cas d'une transformation hétérogène, l'avancement de la réaction est la conséquence du déplacement de l'interface réactionnel. Aussi le milieu réactionnel, et la diffusion qui doit se faire à travers les produits jusqu'à l'interface sont de telle importance dans cette réaction.

## - PROCESSUS D'ECHANGE ET EQUILIBRE CHIMIQUES

Soit la réaction d'échange entre la phase solide représentée par  $R^-M$  dont  $R^-$  est le substrat et  $M^+$  le cation échangeables, et la phase liquide contenant par exemple le cation  $B^{2+}$ .

En milieu statique il s'établit un équilibre qu'on représente par l'équation chimique suivante:



dans laquelle  $R^-$  représente une fonction active de surface de l'échangeur.

Le facteur sélectivité est défini par l'équation:

$$\frac{[R_2B^{2+}][M^+]^2}{[R^-M^+][B^{2+}]} = k(R^-M \rightarrow R_2B)$$

25.

$K$  varie entre 1 et 5 pour les cations monovalents, et de 20 à 40 s'il ya présence d'un cation monovalent et d'un cation bivalent. (32, 24).

## V. Pouvoir d'adsorption :

La quantité de substance adsorbée est fonction de la surface du solide adsorbant. Donc l'adsorption est d'autant plus importante que la surface est grande. Les meilleurs adsorbants connus de nos jours sont les adsorbants à grande surface spécifique, le cas des poudres fines, comme le noir de platine ou le charbon actif dont leurs surfaces spécifiques varient entre 1000 à 1500  $m^2/g$ .

Les argiles et les zéolithes présentent des surfaces de l'ordre de 50 à 200  $m^2/g$  (32 et 19).

D'après les analyses faites par monsieur Benjamaa (thèse master 82) ; la surface spécifique pour les bentonites algériennes sont comme suit :

$$\beta_1 = ( ) \quad \beta_2 = ( ) \quad \beta_3 = ( ) \quad \beta_4 = ( )$$

La capacité d'adsorption d'un adsorbant est fonction non seulement de sa surface spécifique et de la nature

de la substance adsorbée, mais aussi de la concentration de celui-ci dans le milieu ambiant. En condition statique, il s'établit un équilibre entre sa concentration dans les particules de l'adsorbant et sa concentration, dans <sup>le</sup> liquide entourant les particules de l'adsorbant; cet équilibre est décrit par la courbe d'adsorption appelée aussi isotherme d'adsorption du fait qu'elle dépend de la température ambiante.

## VII PROPRIÉTÉS THERMIQUES :

Les analyses thermiques (ATD) et (ATG) [9] montrent que la montmorillonite est caractérisée par un 1<sup>er</sup> premier départ d'eau hygroscopique et interstitielle très important entre 20 et 250 suivie d'un palier puis par une déshydration importante entre 380 et 580°C qui correspond au départ de l'eau de constitution enfin une 3<sup>e</sup> perte entre 650 et 750°C (4 . 36).

(4) C.A JOUENNE . . Traité de céramique et matériaux minéraux.

(36) N.K NDIROV

## CHAPITRE 4:

I/ Préparation et dispositif d'étude  
d'échantillons de la bentonite ( $B_4$ )

II/ Rappel et généralités sur la  
fixation de protons sur la bentonite  
( $B_4$  séchée à 100 °C).

## I/ PRÉPARATION ET DISPOSITIF D'ÉTUDE D'ÉCHANTILLON DE LA BENTONITE :

### — Préparation de l'échantillon :

- Cette étude a été faite avec une bentonite symbolisée par ( $B_4$ ). On s'est intéressé aux températures  $200^\circ C$ ,  $300^\circ C$ ,  $400^\circ C$  et  $500^\circ C$  : 4 échantillons ont été mis dans le four chacun à la température désirée pendant 2 heures.

Après l'activation, les échantillons sont gardés dans un dessicateur contenant un absorbant.

Le dessicateur bien clos assure la protection de l'échantillon contre l'humidité.

### — Dispositifs d'étude de la bentonite :

- Pour les manipulations nous avons basé notre travail sur deux types de contact.

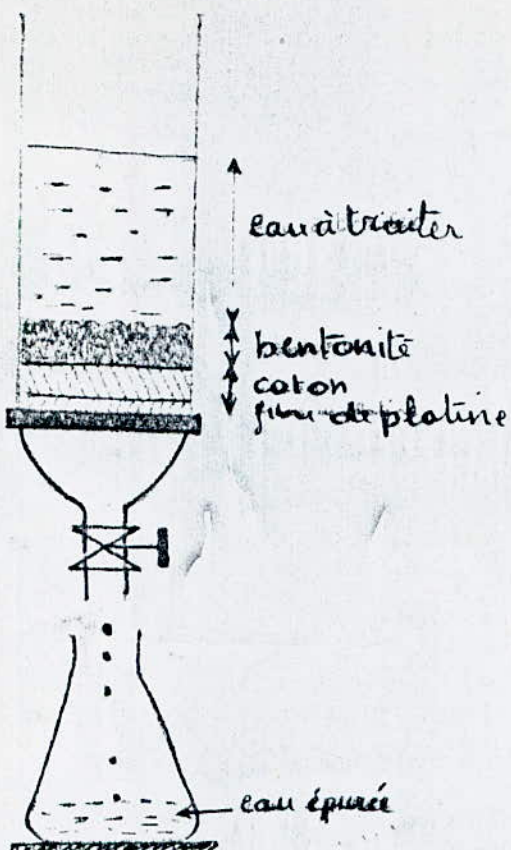
— Contact statique.

— Contact dynamique.

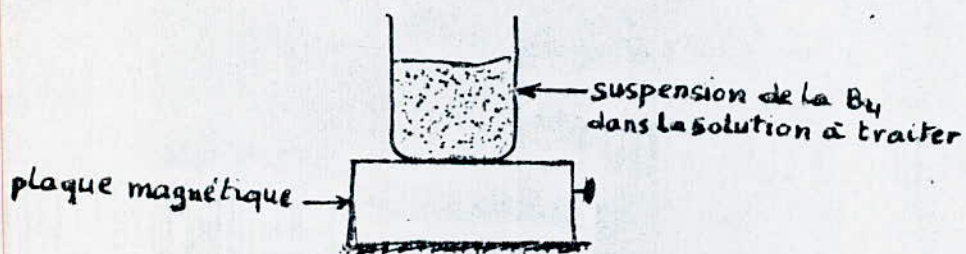
Nous signalons ici que le contact dynamique n'est utilisé que pour la partie analyse du  $Cr^{VI}$  avec la bentonite.

#### • Contact statique :

Le contact statique consiste à introduire une masse donnée de la  $B_4$  dans un becher déposé sur une plaque magnétique et contenant la solution à traiter.



b) contact dynamique



a) Contact statique:

Fig. 3.3. Schema du dispositif d'élimination des ions  $Cr^{6+}$  par la bentonite

L'agitation est modérée et représenté à la fig ( b )

• Contact dynamique :

Il s'agit d'introduire dans une colonne cylindrique maintenue verticale et munie d'un filtre sur lequel repose la  $B_4$ , un volume de la solution à traiter. Cette solution s'écoule à travers la masse de la bentonite. Le filtrat est analysé par la suite.

## II RAPPEL ET GÉNÉRALITÉ SUR LA FIXATION DE PROTONS SUR LA BENTONITE ( $B_4$ Sèche à 100°C)

- La fixation de protons sur la  $B_4$  sèche à 100°C a été étudiée par MAMAN (thèse de fin d'étude 1/77). Ce dernier s'est intéressé à la fixation des protons provenants de solution d'acides [ $H_2SO_4$ ,  $HCl$ ,  $CH_3COOH$  et  $H_3PO_4$ ] 1N.

Les résultats qu'il a obtenu affirment que la  $B_4$  fixe les  $H^+$ . La cinétique de fixation diffère selon la nature et la force de l'acide. Il a trouvé certaines analogies entre la cinétique de fixation des protons  $H^+$  de  $(H_2SO_4)$  et des protons  $H^+$  de  $HCl$  ainsi qu'entre les protons  $H^+$  de  $CH_3COOH$  et les  $H^+$  de  $H_3PO_4$ . C'est pourquoi nous avons choisi de travailler sur deux acides différents, en nature et en force d'acidité. Ce sont l'acide acétique (acide organique faible) et l'acide sulfurique (acide minéral fort).

50

Nous avons vu l'intérêt de faire l'étude de la fixation des protons, sachant qu'elle pouvait nous apporter une explication sur la nature de fixation des cations.

L'efficacité et la facilité de cette étude sont liées à la possibilité de suivre avec précision la cinétique des H<sup>+</sup> grâce à l'évolution du pH en fonction du temps.

Puis nous étudierons l'influence du rapport  $\frac{V}{m}$  sur la vitesse de fixation et sur le taux de fixation.

Une comparaison entre les différentes courbes [pH = f(m)] et les courbes [pH = f(t)] nous conduira peut-être à déterminer l'influence du traitement thermique sur le pouvoir de fixation.

## CHAPITRE 5:

### **FIXATION DE PROTONS SUR LA BENTONITE** (Test sur les 4 échantillons actives différemment)

- I - Cinétique de fixation en fonction de rapport  $\frac{V}{m}$  ( $V$ : volume de la solution,  $m$  (masse de  $B_4$ ) introduit)
- II - Evolution de la capacité de fixation en fonction de  $\frac{V}{m}$ .
- III - Influence de l'acidité sur la nature et sur la cinétique de fixation.

# I. CINETIQUE DE FIXATION EN FONCTION DU RAPPORT

- Pour une solution de  $\text{CH}_3\text{COOH}$  1N, nous avons suivi l'évolution du pH en fonction du temps pour différentes valeurs de  $\frac{V}{M}$  pour 4 échantillons actifs différemment. Les valeurs obtenues figurent sur les tableaux (1, 2, 3, 4 et 5). Les courbes obtenues sont représentées sur les figures (1, 2, 3, 4, 5).

## RESULTATS D'EXPERIENCE AVEC $\text{CH}_3\text{COOH}$ (1N).

volume de la solution à traiter: 500 ml

masse de la bentonite  $B_4 = 2 \text{ g}$ .

$T = 20^\circ\text{C}$

Contact statique.

Phase	Temps [minute]	pH <sub>200</sub>	pH <sub>300</sub>	pH <sub>400</sub>	pH <sub>500</sub>
fixation rapide	0	2,50	2,50	2,50	2,50
	0,66	2,68	2,64	2,55	2,55
	1	2,72	2,68	2,60	2,58
	3	2,80	2,75	2,70	2,67
fixation lente	10	2,84	2,80	2,74	2,72
	30	2,88	2,85	2,80	2,80
	120	2,90	2,90	2,85	2,85
	6 heure	2,90	2,90	2,85	2,85
	24 heure	2,95	2,95	2,95	2,95

Remarque: pH<sub>200</sub> correspond à l'échantillon actif thermiquement à 200°C

Télécharger

Variation du PH en fonction du temps

solution à traiter  $\text{CH}_3\text{COOCH}_3\text{N}$

volume : 500 ml

masse de bentonite : 3 g

température : 20°C

	temps [min]	PH <sub>200</sub>	PH <sub>300</sub>	PH <sub>400</sub>	PH <sub>500</sub>
fixation rapide	0	2,5	2,5	2,5	2,5
	·	2,70	2,68	2,65	2,60
	1	2,70	2,72	2,70	2,65
	2	2,95	2,90	2,72	2,75
fixation lente	4	3,00	2,95	2,90	2,80
	10	3,05	3,00	2,92	2,82
	60	3,10	3,10	3,00	3,00
	120	3,10	3,10	3,00	3,10
	6 h	3,12	3,15	3,10	3,15
	24 heure	3,15	3,20	3,15	3,20

Tableau n° 2

Variation du pH en fonction du temps

Solution de  $\text{CH}_3\text{COOH}$  1N

Volume 500 ml

masse de bentonite : 4g

T = 20°C

	temps [min]	pH <sub>200</sub>	pH <sub>300</sub>	pH <sub>400</sub>	pH <sub>500</sub>
fixation rapide	0	2,50	2,50	2,50	2,50
	0,5	2,85	2,80	2,75	2,70
	*	2,95	2,90	2,85	2,78
	1	3,00	2,95	2,90	2,85
fixation lente	4	3,00	3,00	2,90	2,90
	10	3,05	3,05	2,95	2,95
	60	3,10	3,10	3,00	3,00
	120	3,15	3,10	3,10	3,15
	6 heure	3,20	3,20	3,15	3,20
	24 h	3,25	3,20	3,20	3,20

Tableau n° 3

Variation du pH en fonction du temps.

Solution à traiter:  $\text{CH}_3\text{COOH}$  1N

Volume : 500 ml

Masse de bentonite : 5g

T = 20°C

	temps [min]	pH <sub>200</sub>	pH <sub>300</sub>	pH <sub>400</sub>	pH <sub>500</sub>
fixation rapide	0	2,50	2,50	2,50	2,50
	0,5	2,85	2,80	2,70	2,66
	<	3,05	3,00	2,95	2,85
fixation lente	4	3,15	3,10	3,05	2,95
	10	3,15	3,15	3,05	2,95
	60	3,20	3,20	3,10	3,00
	120	3,20	3,20	3,20	3,10
	4 h	3,25	3,25	3,25	3,20
	6 h	3,25	3,25	3,25	3,25
	24 h	3,25	3,25	3,20	3,20

Tableau n° : 4

Variation du pH en fonction du temps

Solution de  $\text{CH}_3\text{COOH}$  1N

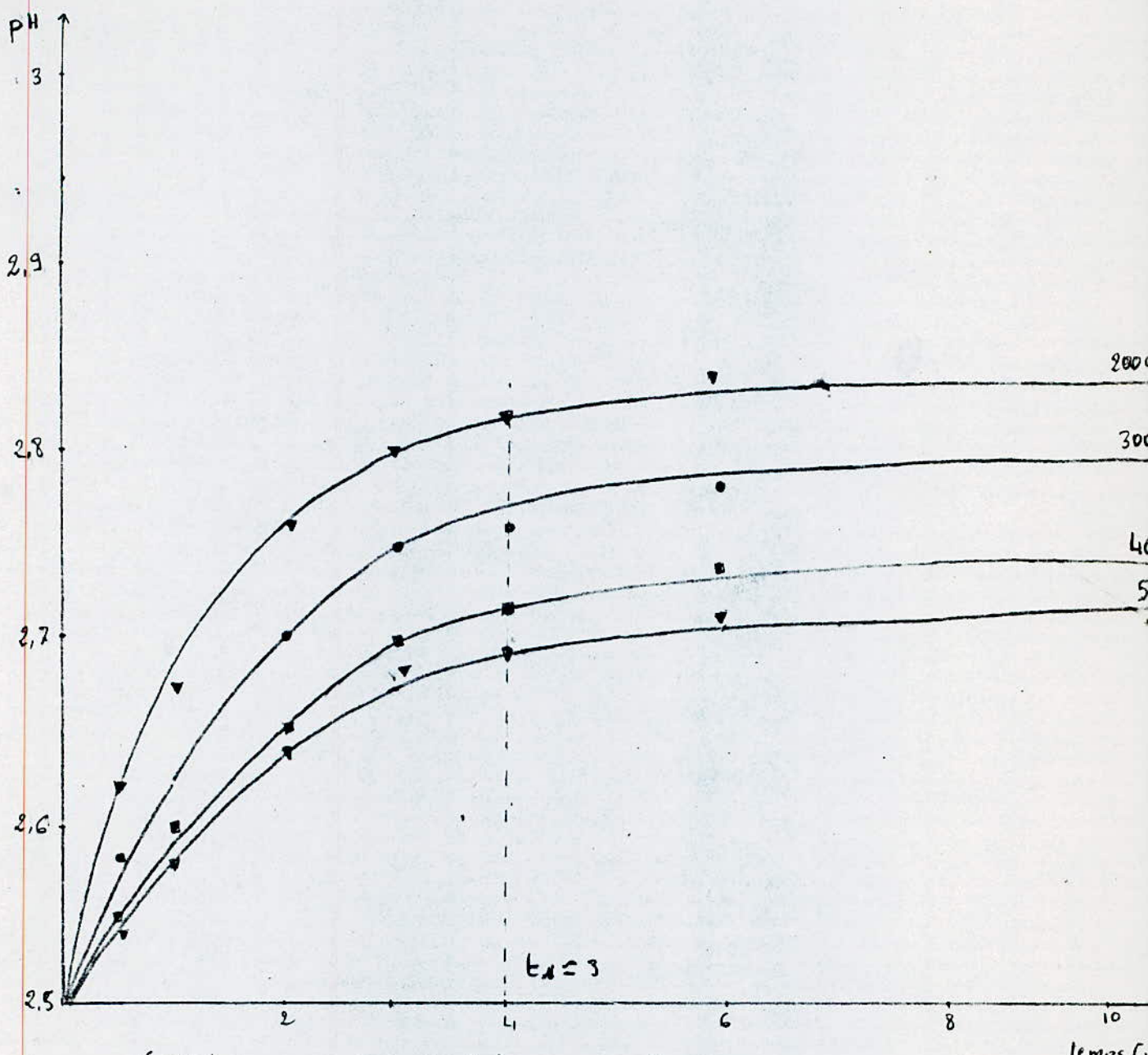
Volume : 500 ml

Poids de bentonite : 6g

T = 20°C

	temps [mn]	pH <sub>200</sub>	pH <sub>200</sub>	pH <sub>2</sub>	
fixation rapide	0	2,50	2,50	2,50	2,50
	0,5	3,10	3,05	2,95	2,88
	1	3,15	3,08	3,00	2,90
	4	3,15	3,10	3,02	3,00
	10				
	60	3,20	3,15	3,10	3,10
	120	3,25	3,20	3,20	3,20
	6h	3,30	3,30	3,30	3,30
	24 h	3,30	3,30	3,30	3,30

Tableau n° : 5



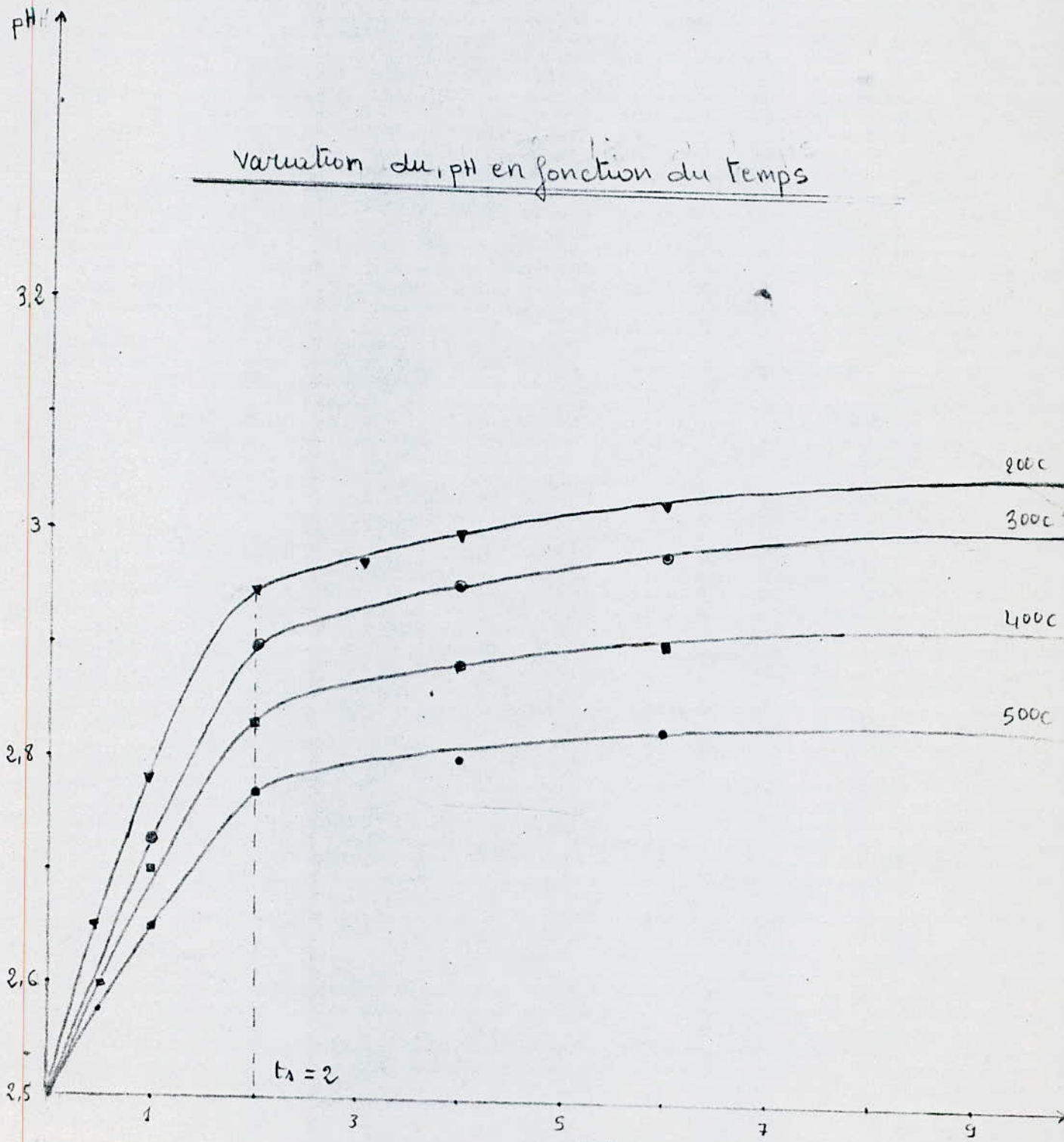
figé 1

Contact statique:  $m = 2\text{g}$

$V = 500\text{ml}$

Concentration de  $\text{CH}_3\text{COOH}$ ;  $c = 1\text{N}$

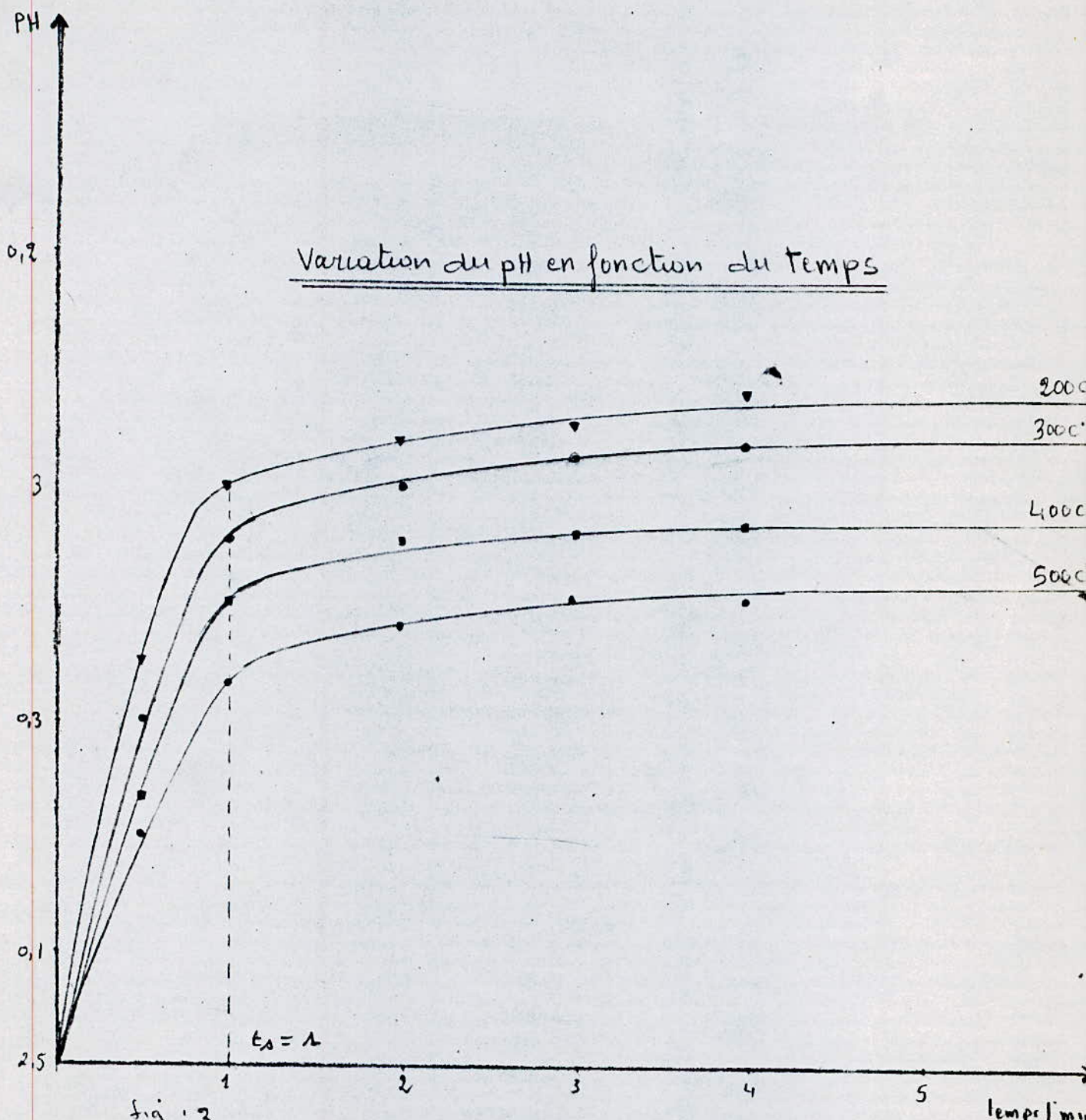
Variation du pH en fonction du Temps



Sig: 2

Contact station :musse de la bentonite 3g  
V = 500mle = 1N  $(\text{CH}_3\text{COOH})$   
T = 17°C

Temps [min]



Contact statique :

masse de la bentonite : 4 g

$V = 500 \text{ ml}$

$c = 1 \text{ N} [\text{CH}_3\text{COOH}]$

Volume de la solution  $[CH_3COOH] : 500 \text{ ml}$

$m : 5 \text{ g}$

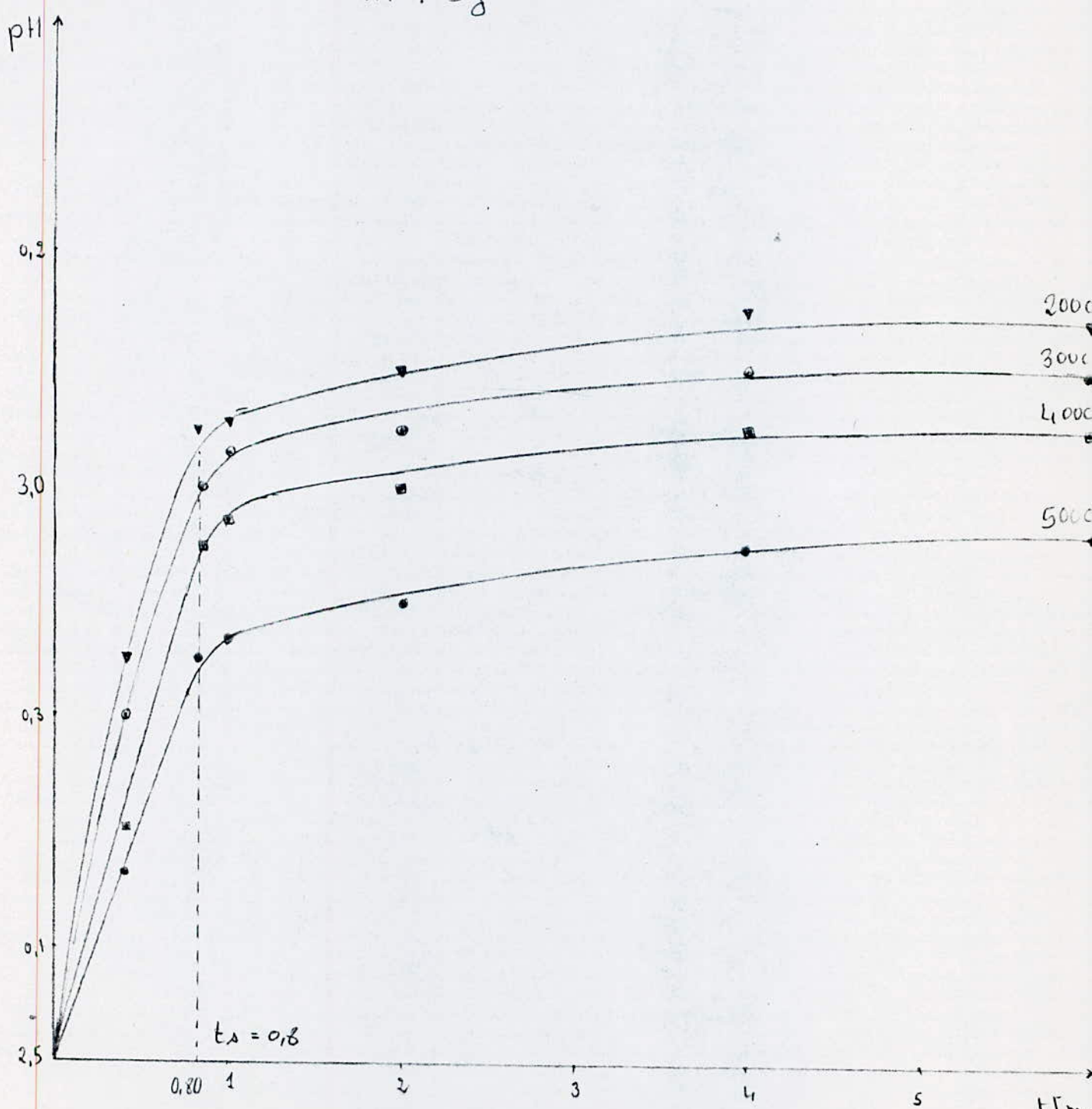


fig : 4

contact statique

Variation du pH en fonction du temps

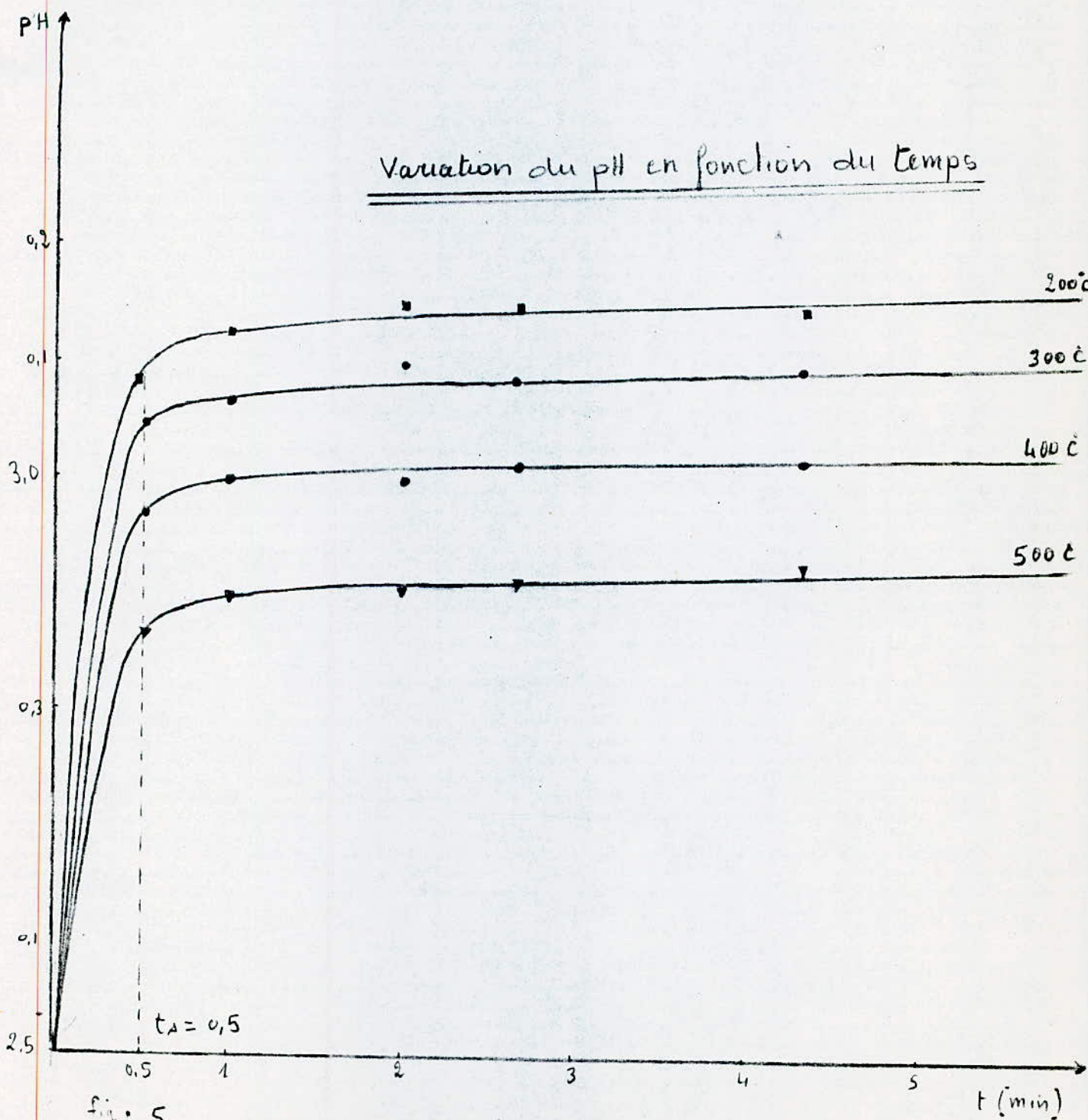


fig: 5

Contact statique :  $m = 6\text{g}$   
 $\text{CH}_3\text{COOH}$   $V = 500\text{ml}$   
 $C = 1\text{N}$

## COMMENTAIRE :

- L'étude des courbes des figures (1, 2, 3, 4 et 5) montre qu'il existe deux phases de fixation :
   
une phase très courte où la fixation est très rapide et une phase longue où le taux de fixation est relativement faible. Cette dernière est représentée par un plateau dont la pente diminue progressivement.
- La fixation <sup>rapide</sup> s'explique par la grande affinité de la bentonite ( $\text{B}_4$  activée) à l'adsorption des protons, ainsi que par la grande mobilité de ces derniers dans le milieu aquieux.
- La 2<sup>e</sup> phase correspond à une faible concentration des  $\text{H}^+$  dans la solution et à une occupation maximale des sites de la  $\text{B}_4$  par les  $\text{H}^+$ . Il est probable que certains protons, adsorbés sur la surface de la bentonite, s'échangent avec d'autres cations échangeables de la bentonite et ~~en~~ penetrant dans la couche interne et ainsi laissent leur place à d'autres protons. Donc il y a simultanément une adsorption et une réaction d'échange.

Un équilibre chimique s'établit après une quinzaine de minutes, après quoi la fixation devient pratiquement nulle.

- On constate aussi que le temps de saturation ( $t_s$ ) ou plus exactement le temps correspondant à la fin de la 1<sup>e</sup> phase

de fixation, est pratiquement le même pour un rapport  $\frac{V}{m}$  fixe, pour les quatre échantillons ( $B_{200}, B_{300}, B_{400}, B_{500}$ ). Le temps  $t_s$  varie dans le même sens que la rapport  $\frac{V}{m}$ . Il diminue quand  $\frac{V}{m}$  diminue. En effet si la concentration du  $B_4$  dans la solution est élevée, le nombre des sites est élevé et par conséquent, les distances entre les protons  $H^+$  et les particules de  $B_4$  (sites) sont faibles c'est à dire le parcours de diffusion des  $H^+$  de la solution à la surface des feuillets de la bentonite diminues. Ainsi on favorise le contact des protons avec les sites de la bentonite, par conséquent l'équilibre statique s'établit rapidement. Donc il est évident que la concentration des sites d'adsorption ou décharge de la bentonite présentes dans la solution, influe directement sur la vitesse de fixation.

→ le tableau (a) donne le temps de saturation en fonction du rapport  $\frac{V}{m}$

$\frac{V}{m}$ mg/mg	500	250	$\frac{500}{3}$	125	100	$\frac{500}{6}$
$t_s$ (minuté) Temps de saturation	4	3	2	1	0,8	0,5

Tableau n°(6)

## II/ INFLUENCE DU RAPPORT $\frac{V}{m}$ SUR LE TAUX DE FIXATION :

- Nous avons choisi pour cette étude deux durées de contact statique :

- ① Une durée égale aux temps appelés temps de saturation, celui-ci varie en fonction de  $\frac{V}{m}$ .
- ② Une durée égale à 24 heures.

Pour le 1<sup>er</sup> cas nous avons tiré les valeurs à partir des courbes  $pH = f(t)$  représentées par les figures : 1, 2, 3, et 5.

Le tableau ci-dessous résume toutes ces valeurs.

Temps de saturation et pH correspondants.

masse du Bentonite [g]	Temps de saturation	pH <sub>200</sub>	pH <sub>300</sub>	pH <sub>400</sub>	pH <sub>500</sub>
2	3	2,80	2,75	2,72	2,68
3	2	2,95	2,90	2,80	2,75
4	1	3,00	2,95	2,90	2,80
5	0,66	3,05	3,00	2,95	2,85
6	0,5	3,10	3,05	2,98	2,88

fig n° (7)

Temps de saturation et le pH correspondant.

masse [g]	temps de saturation	pH <sub>200</sub>	pH <sub>300</sub>	pH <sub>400</sub>	pH <sub>500</sub>
2	3	2,80	2,75	2,72	2,68
3	2	2,95	2,90	2,80	2,75
4	1	3,00	2,95	2,90	2,80
5	0,66	3,05	3,00	2,95	2,85
6	0,5	3,10	3,05	2,99	2,88

Tableau n° 7

Le pH en fonction de la masse après 24 heures de contact

Solution de CH<sub>3</sub>COOH (1N)

Volume : 500 ml

T = 20 ° pH initial : 2,50

masse de Bu [g]	pH <sub>200</sub>	pH <sub>300</sub>	pH <sub>400</sub>	pH <sub>500</sub>
1	2,75	2,75	2,75	2,75
2	2,95	2,95	2,95	2,95
3	3,15	3,20	3,15	3,15
4	3,25	3,25	3,25	3,25
5	3,28	3,30	3,30	3,30
6	3,25	3,30	3,30	3,28
7	3,30	3,35	3,30	3,30

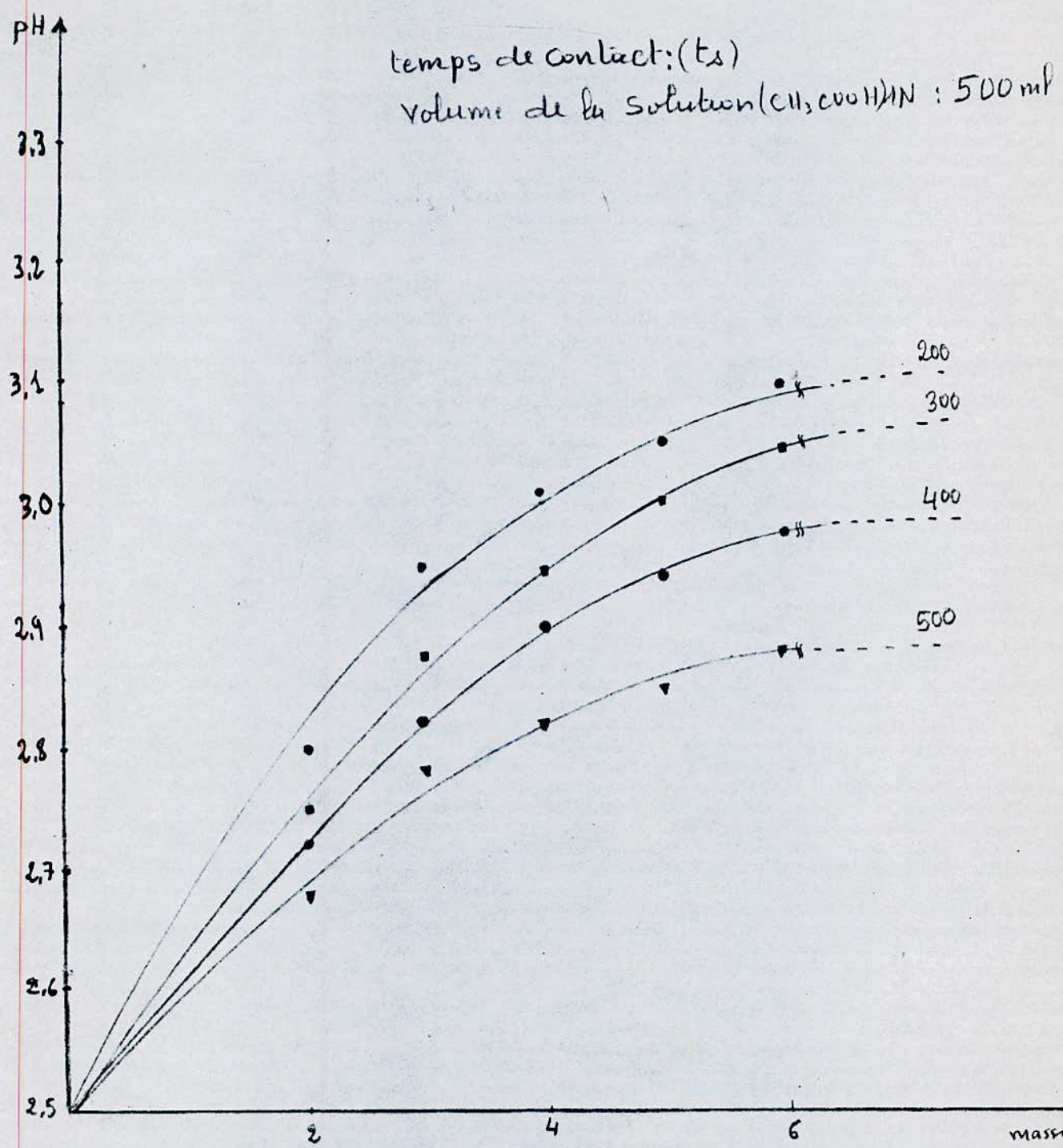


Fig n° 6 Variation du pH en fonction de la masse

## COMMENTAIRES

- o L'étude des courbes de la fig (6) montre qu'il y a une différence remarquable entre les taux de fixation des différents échantillons de la bentonite (34).
- La variation du pouvoir de fixation ( $P_f$ ) est telle que  $P_f 200 > P_f 300 > P_f 400 > P_f 500$  Les valeurs 200, 300, 400 et 500 indiquent les température d'activation.
- o Il est considéré dans le chapitre (4), paragraphe (VII B) que la montmorillonite perd à 200°C son eau adsorbée (Hygroscopique). Au delà de cette température il est probable qu'il y ait disparition de l'eau de constitution. La disparition de l'eau adsorbée libère de nouvelles surfaces qui peuvent contenir des sites d'adsorption (4).
- Par contre la disparition de l'eau des cations échangeables (l'eau de constitution) peut influencer la nature des liaisons des cations ainsi que leur champ électrostatique et par conséquent l'affinité à l'échange ou à l'adsorption diminue comme il est affirmé par les résultats obtenus ( $P_f 200 > P_f 500$ )

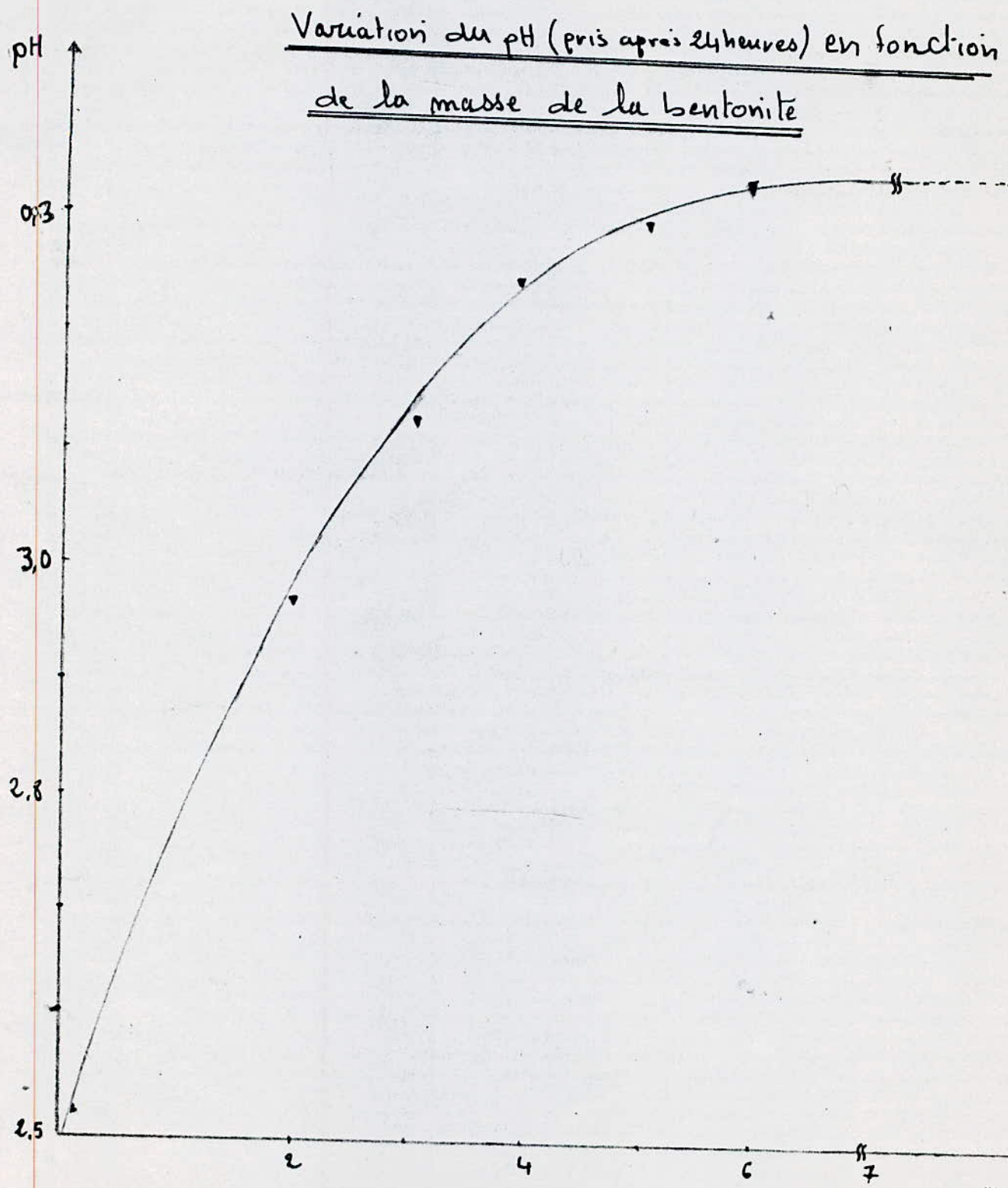


fig : n° 7

Contact statiquemasse (g)  
Volume de la solution acide : 500 ml

40

## COMMENTAIRES

- o Après 24 heures de contact statique le taux de protons  $H^+$  fixés pour un rapport  $\frac{M}{m}$  fixe, est le même pour les quatre échantillons ( $B_{200}$ ,  $B_{300}$ ,  $B_{400}$ , et  $B_{500}$ ) ; Donc il ne dépend que de la concentration de la  $B_4$  dans la solution. Cela peut être expliqué par le fait qu'après 24 heures du contact, les 4 échantillons représentent la même nature (physique et chimique) après qu'ils aient récupéré les deux types d'eau (eau hygroscopique et eau liée au cation échangeable) évaporées lors du traitement thermiques.
- o L'étude de la courbe (7) montre aussi qu'il existe une concentration limite de la  $B_4$  pour laquelle la fixation est maximale. Une fois ce maximum atteint il reste pratiquement constant quelque soit la masse de  $B_4$  rajoutée par la suite. Cela est traduit par la stabilité d'un équilibre entre les  $H^+$  de la solution et des cations échangeables, dans la bentonite. Cette stabilité résulte d'une réaction d'échange qui se fait dans deux sens avec la même vitesse, c'est à dire qu'il ya autant de  $M^+$  fixés que  $H^+$  libérés dans un sens et autant de  $M^+$  fixés que  $H^+$  libérés dans l'autre sens. En fait il ya toujours possibilité d'existence simultanée

ou pas d'un échange ionique ainsi qu'une adsorption.

- Dans le cas où il n'y a pas d'échange ionique, on ne parle pas d'un équilibre entre les  $M^+$  et les  $H^+$  mais seulement de la nature des  $H^+$  et des sites non occupés qui interviennent dans cet équilibre. En effet il résulte de la fixation des  $H^+$ , des anions libres ( $CH_3COO^-$ ) qui donnent par conséquent à la solution une charge négative. Cette charge par son importance empêche le  $H^+$  de se fixer sur la bentonite quelque soit la masse de celle-ci rapportée.

### III - INFLUENCE DE L'ACIDITÉ SUR LA NATURE ET SUR LA CINÉTIQUE DE FIXATION

#### - CONTACT STATIQUE AVEC L'ACIDE SULFURIQUE

- Dans cette étude on ne s'intéresse pas à l'influence du rapport  $\frac{V}{m}$  sur la fixation des  $H^+$  mais à l'influence de la concentration de  $H_2SO_4$ . Les concentrations de  $H_2SO_4$  choisies pour l'analyse sont :

1N, 0,5N, 0,1N, 0,01N et 0,05N.

Sur les tableaux suivants figurent les résultats des analyses effectuées :

- la masse de bentonite est de 2g.
- volume de la solution: 500ml
- $T = 20^\circ C$ .

temps [ ]	pH 0,01	pH 0,05	pH 0,1	pH 0,5	pH 1N
0	2,30	1,80	1,5	0,90	0,40
0,25 min	2,47	1,85	1,55	0,85	
10 min		1,85	1,55	0,85	0,35
1 heure	2,50	1,90	1,55	0,80	0,30
4 heure	2,55	1,95			0,40
7 heure	2,60	2	1,60	0,95	0,75

Tableau n° 9

Remarque:

pH 0,1, pH 0,5 ... etc indiquent pH correspondants aux concentrations 0,1N, 0,5N ... etc

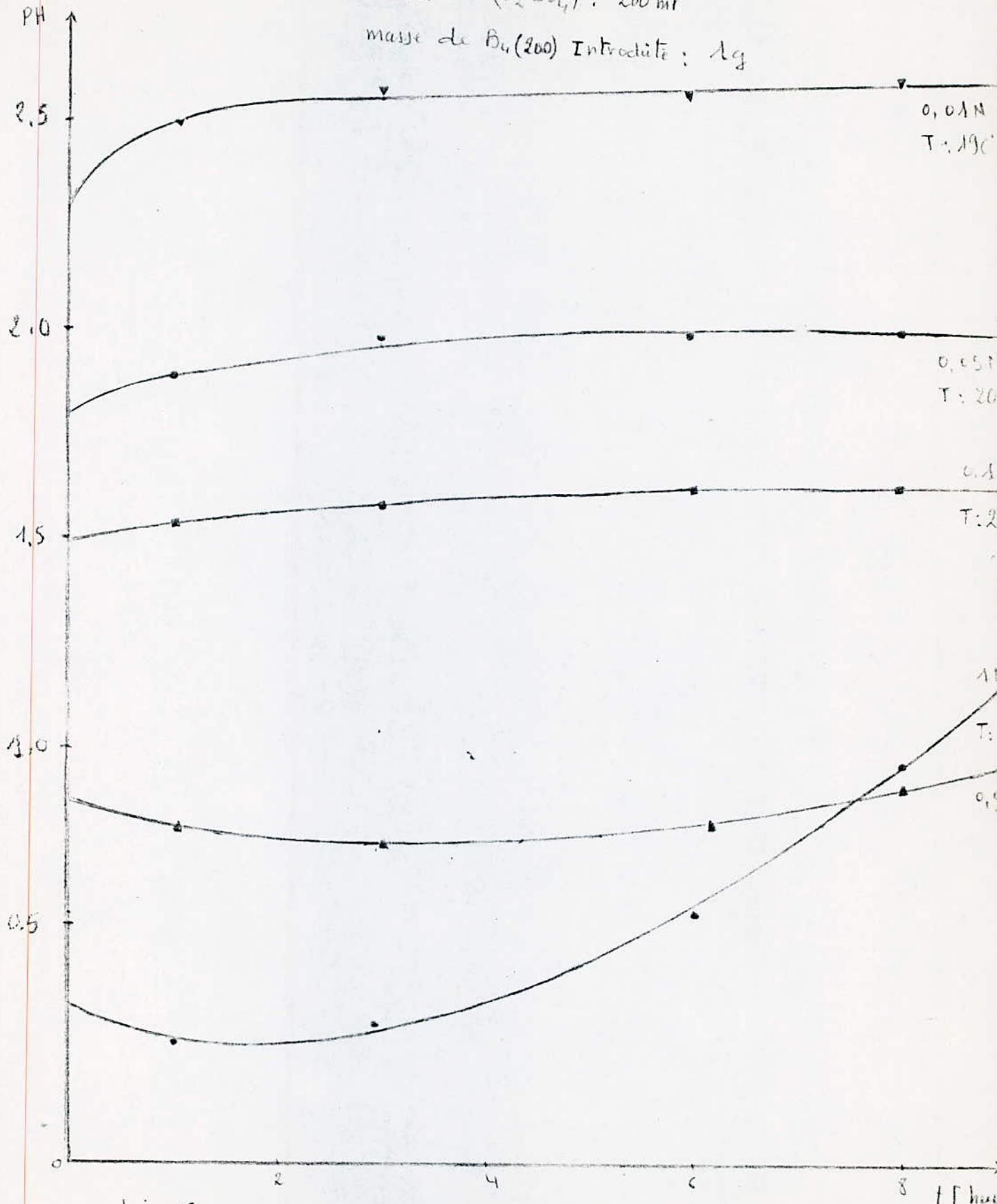
Contact: statiqueVolume acide ( $H_2SO_4$ ): 200 mlmasse de  $Ba(200)$  introduite: 1 g

fig: 8

Influence de la concentration d'acide dans  
la solution sur la cinétique de fixation

## INTERPRETATION DES RESULTATS :

- L'étude des courbes de la fig (8) montre qu'il ya une certaine analogie entre les courbes de 0,5N et 1N de même autre les 3 courbes de 0,1N, 0,01N et 0,05N.
- Pour les deux premières on constate une diminution du pH qui peut être dûe à une libération des  $H^+$  par la bentonite. Après un certain temps une augmentation de pH est observée. [voir fig (8)]. Les 3 autres courbes (0,01, 0,05, 0,1) présentent des allures semblables à celle de l'acide acétique (1N), on en conclut que plus la concentration de l'acide  $H_2SO_4$  est faible dans la solution plus la fixation est importante.
- De ces observations, il est clair que la fixation des  $H^+$  dépend de leur activité. En effet quand la concentration augmente la mobilité des  $H^+$  diminue à cause des interactions électrostatiques entre les cations, par conséquent leur pouvoir de fixation diminue lui aussi.
- Une hypothèse (14) vient peut être compléter celle qui a été dit précédemment, suivant laquelle, la diminution du pH peut provenir de l'oxydation de certains cations de la couche octaédrique de la bentonite ( $Fe^{2+} Mn^{2+} \dots$ ). Après cette oxydation les charges de la bentonite doivent se recueillir par perte d'un proton. On souligne aussi que les cations oxydés ainsi que d'autres cations échangeables diffusent peu à peu dans la solution en

laissons leurs places aux cations  $H^+$ .

Cela peut être une explication à l'augmentation de pH  
après qu'il passe par un minimum.

## CHAPITRE 6:

**FIXATION DU G<sup>VII</sup> SUR LA BENTONITE**  
**(TEST SUR BENTONITE ACTIVÉE THERMIQUEMENT**  
**A 200)**

## MÉTHODE D'ANALYSE UTILISÉE POUR LE DOSAGE DU Cr<sup>VI</sup>

— Le dosage du Cr<sup>VI</sup> est effectué par la méthode colorimétrique dont le mode opératoire est le suivant : Après la filtration de la solution à doser (voir Annexe) on prend 50 ml du filtrat et on y ajoute 3 ml d'Acide carbazide (voir annexe). On l'agit et on laisse reposer pendant 10 min où une coloration rouge violette apparaît après quoi la solution est prête pour le dosage. La longueur d'onde spécifique au Cr<sup>VI</sup> est de 540 nm.

## PRINCIPE DE LA COLORIMÉTRIE (PHOTOMÉTRIE)

— La colorimétrie est l'une des méthodes photométriques, basées sur l'interaction de l'énergie rayonnante (ou radiante) avec la matière. La photométrie est en fait une mesure directe de la propagation d'énergie rayonnante absorbée par un échantillon. La lumière a un double caractère ondulatoire et corpusculaire. Autrement dit une radiation électromagnétique est caractérisée soit par longueur d'onde ( $\lambda$ ) soit par l'énergie associée aux photons correspondants (ou garni d'énergie  $h\nu$ ). Le spectre électromagnétique complet est divisé en régions spectrales, de limite assez floue, selon la valeur de cette

énergie, et séries des rayons & jusqu'aux ondes kilométriques. En analyse de l'eau on travaille principalement dans la région visible ( $400 < \lambda < 750\text{nm}$ ), dans l'ultraviolet proche ( $200 < \lambda < 400\text{nm}$ ) ou dans le proche infrarouge ( $750 < \lambda < 2500$ ).

La première étape d'un dosage photométrique consiste donc à déterminer la meilleure longueur d'onde c'est à dire la plus spécifique et celle qui correspond à l'absorption maximale.

Il s'agit ensuite de mesurer la fraction d'énergie ou d'intensité lumineuse absorbée par l'échantillon, or d'après la loi de BEER l'intensité d'une radiation monochromatique décroît exponentiellement avec la concentration du corps absorbant:  $I_t = I_0 e^{-kc}$

(pour une épaisseur déterminée d'échantillon)

$I_0$  = Intensité de la lumière avant la traversée de l'échantillon.

$I_t$  = Intensité de la lumière transmise (ou résiduelle)

$c$  = Concentration de la substance absorbante.

$$\text{D'où } \ln \frac{I_t}{I_0} = -kc$$

$$\text{et } \log \frac{I_0}{I_t} = kc$$

Le rapport  $I_t/I_0$  est la transmission, on l'exprime généralement en pourcentage.

$\log \frac{I_0}{I_t}$  est l'absorbance présente l'avantage d'augmenter linéairement avec la concentration  $Abs = K \cdot C$ .

### Loi de LAMBERT:

L'expérience montre également que l'intensité d'une radiation monochromatique décroît exponentiellement avec l'épaisseur ( $b$ ) de l'échantillon.  $I_t = I_0 \exp - K' b$ .

(pour une concentration déterminée du corps adsorbant d'où finalement on exprime la loi de BEER LAMBERT sous la forme  $Abs = \alpha_\lambda \times b \times c$ .

- $\alpha_\lambda$  Coefficient d'adsorption (ou d'extinction) sa valeur dépend
  - de la nature de la substance absorbante
  - de la longueur d'onde.
  - des unités utilisées pour exprimer ( $b$ ) et ( $c$ ).

Nombre de fioles	T	I	II	III	IV	V	VI	VII	VIII
solution étalon de chrome à 5mg/l [ml]	0	0,5	1	2	3	4	10	20	25
Eau distillée [ml]	50	49,5	49	48	47	45	40	30	25
correspondance $\text{Cr}^{VI}$ [mg/l]	0	0,013	0,027	0,053	0,080	0,134	0,268		0,67
DO	0,000	0,005	0,014	0,037	0,042	0,072	0,142		0,385

Tableau I<sup>e</sup>

Une représentation graphique est donnée par la fig (A).

Courbe d'étalonnage du chrome

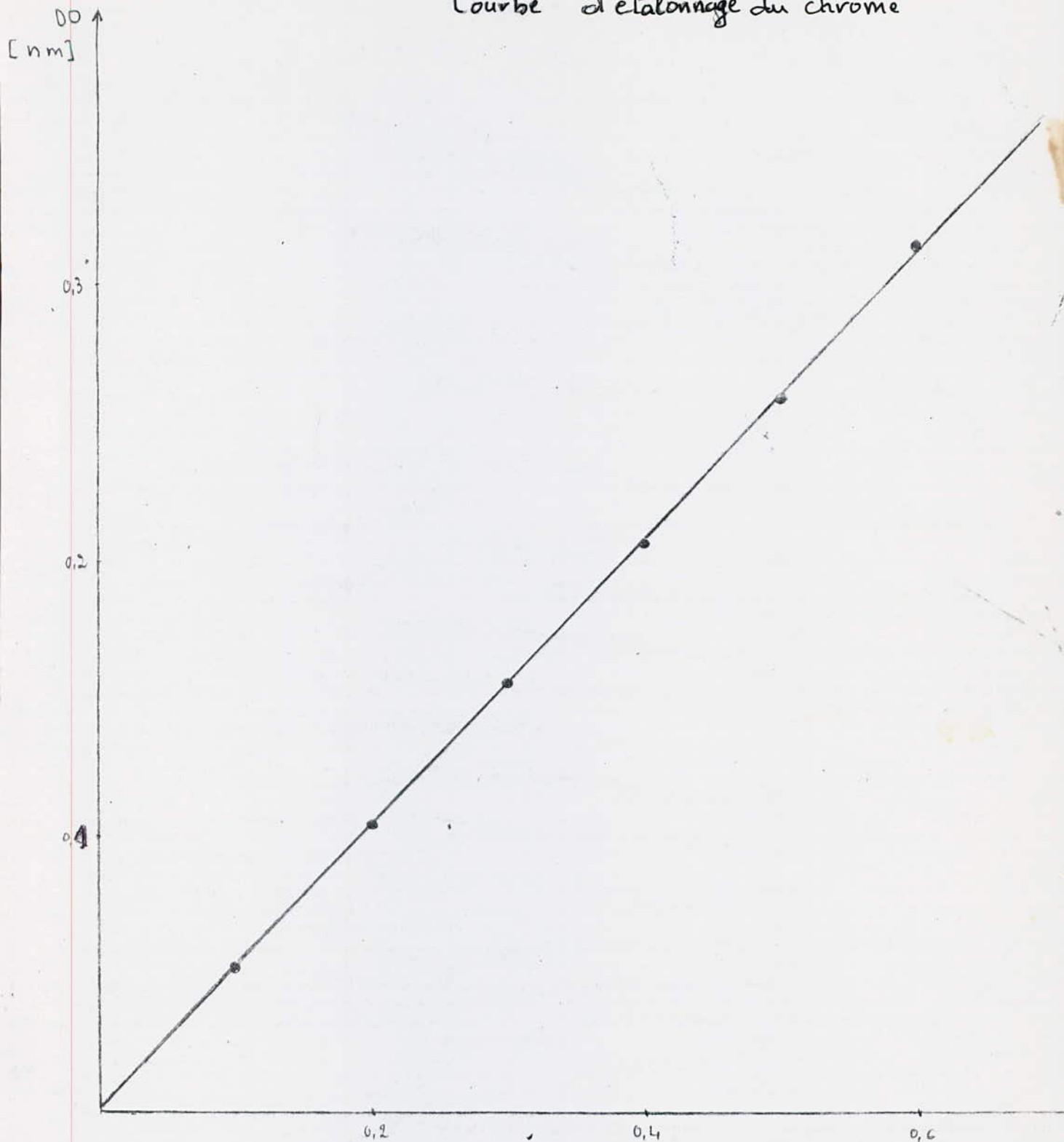


fig : A

Concentration en [mg/l]

# ANALYSES DU CHROME HEXAVALENT EN LABORATOIRE

## GÉNÉRALITÉS

- Dans ces analyses nous <sup>nous</sup> sommes intéressé à savoir les paramètres suivants:

- I) L'influence du rapport  $\frac{V}{m}$ , et de la concentration en Cr<sup>VI</sup> dans la solution, sur le taux de fixation du Cr<sup>VI</sup> sur la masse de la bentonite
- II) Cinétique de fixation et influence de la concentration en Cr<sup>VI</sup> sur celle-ci.
- III) L'influence du pH sur le taux de fixation
- IV) La saturation de la bentonite en fonction de la concentration du Cr<sup>VI</sup> dans la solution à traiter.

## \* REMARQUES

\* L'échantillon de la bentonite choisi pour toutes les analyses du Cr<sup>VI</sup>, est celui qui a donné la meilleure fixation des protons H<sup>+</sup>, c'est à dire celui qui est activée thermiquement à 200°C.

\* La concentration du Cr<sup>VI</sup> non fixé est tirée directement de la courbe d'étalonnage:  $D_0 = f(c)$  où "D<sub>0</sub>" est la densité optique et "c" est la concentration du Cr<sup>VI</sup> non fixé.

\* La concentration du Cr<sup>VI</sup> fixé est égale à la concentration du Cr<sup>VI</sup> initiale dans la solution moins la concentration du Cr<sup>VI</sup> non fixé.

\* Le rendement ( $\gamma$ ) est égal au rapport de la concentration du Cr<sup>VI</sup> fixé sur la concentration du Cr<sup>VI</sup> initiale dans la solution.

$$\gamma = \frac{\text{Cr}^{\text{VI}} \text{ fixé sur la bentonite}}{\text{Cr}^{\text{VI}} \text{ Initial présent dans la solution.}}$$

## CHOIX DES CONCENTRATIONS EN Cr<sup>VI</sup> DANS LES SOLUTIONS CHOISIES POUR LES ANALYSES

- Nous avons choisi 3 concentrations en Cr<sup>VI</sup> pour toutes les analyses soient respectivement : 0,92 mg/l, 0,50 mg/l et 0,12 mg/l. Les valeurs 0,92 mg/l et 0,50 mg/l correspondent respectivement aux concentrations des échantillons 1 et 2 d'eaux usées prisées au niveau de l'atelier TE (avant traitement) (voir chapitre tableaux 10, 11 et 12).

Ces deux concentrations nous permettent par conséquent de comparer l'efficacité de la bentonite (activée thermiquement à 200°C) à fixer le Cr<sup>VI</sup> présent dans des solutions préparées en laboratoire (le solvant c'est l'eau distillée) avec son efficacité à fixer le Cr<sup>VI</sup> que renferment les eaux usées provenant de l'atelier TE.

Nous avons jugé utile d'utiliser une 3<sup>e</sup>me concentration qui est égale à 0,12 mg/l.

# I: INFLUENCE DU RAPPORT $\frac{V}{m}$ ET DE LA CONCENTRATION EN Cr<sup>VI</sup> DANS LA SOLUTION, SUR LE TAUX DE FIXATION %

## - CONDITIONS OPERATOIRES %

- concentration en Cr<sup>VI</sup> sont utilisées, sont respectivement 0,92 mg/l, 0,50 mg/l et 0,12 mg/l. Le volume de la solution chromée est pris égal à 400 ml.

La température ambiante est de 18°C. Le temps de contact statique étant pris égal à 30 min.

Dans ces conditions nous avons fait varier la masse de la bentonite.

## MODE OPERATOIRE %

- La solution chromée contenue dans un bêcher est passée sur un agitateur. celui ci assure une agitation énergétique continue. A un instant zero on introduit la masse de la bentonite dans la solution. Après 28 min on arrête l'agitation et on filtre la solution, on garde soin que la durée de filtration par la méthode mentionnée à l'annexe(3) soit égale à 4 min.

On récupère le filtrat et on en dose 50 ml.

## Résultats :

Les résultats des expériences figurent sur les tableaux( ) (10, 11 et 12)

### tableau n°(10)

- Concentration du Cr<sup>VI</sup>: C = 0,92 mg/l

volume de la solution chromée : 400 ml.

temps de contact : 30 minutes.

pH initial 6,2. Contact statique.

masse (g)	V/m [mg/g]	densité oblique D.O	Cr <sup>VI</sup> fixé [mg/L]	rendement %	pH final
0,25	800	0,108	0,710	77	7,2
0,50	400	0,064	0,790	86,78	7,8
1	200	0,056	0,812	88,40	6,4
1,5	133	0,052	0,829	89,18	7,7
2	100	0,053	0,819	88,15	7,8

### tableau n°(11)

- Concentration du Cr<sup>VI</sup> est de 0,50 mg/l

pH initial 6,4.

temps de contact 30 minute.

température 20°C

- Contact statique.

V/m mg/l	D0	[Cr <sup>VI</sup> ] non fixe [mg/l]	[Cr <sup>VI</sup> ] fixe [mg/l]	rendement	pH final
800	0,031	0,070	0,429	85,96	7,9
400	0,033	0,064	0,435	87,16	8
200	0,031	0,059	0,440	88,18	8,1
133	0,030	0,059	0,440	88,00	8,1
100	0,036	0,070	0,429	85,96	8,2

### tableau n°(12) :

- Concentration en Cr<sup>VI</sup> est de 0,12 mg/l

pH initial = 6,5

température = 20°C.

temps de contact 30 minute.

Contact statique.

V/m [mg/l]	D0 densité optique	[Cr <sup>VI</sup> ] non fixe [mg/l]	[Cr <sup>VI</sup> ] fixe [mg/l]	rendement %	pH final
800	0,012	0,024	0,096	80	7,5
400	0,011	0,021	0,098	82	7,9
200	0,013	0,025	0,094	79	8,0
133	0,013	0,025	0,094	79	7,9
100	0,013	0,025	0,094	79	8,0

les résultats sont représentés par les figures (g) et ).

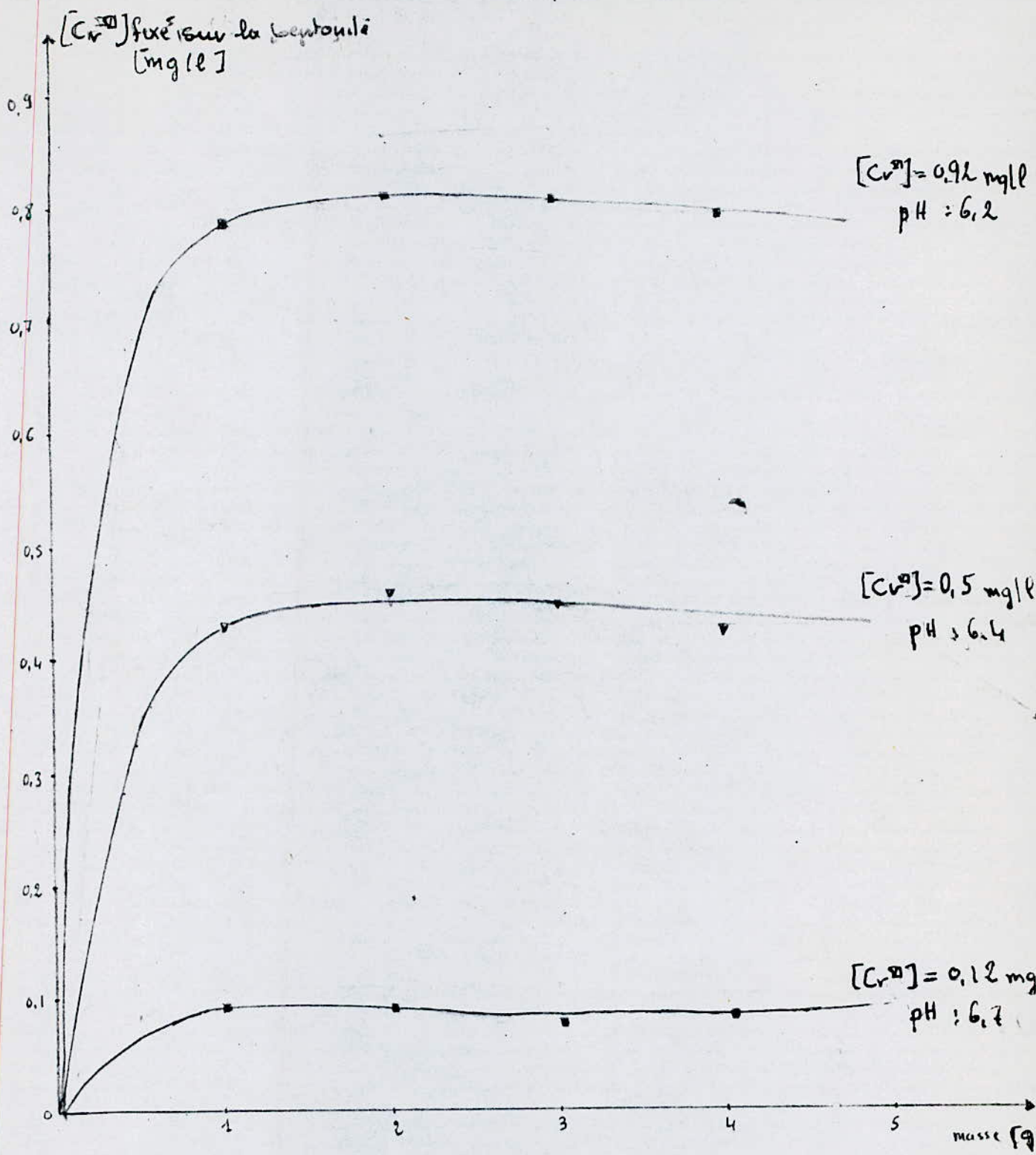


fig n°: 9

temp de contact: 30 min  
Contact statique:  
 $V = 400 \text{ ml}$   
 $T = 22^\circ \text{C}$

Influence de la masse de la bentonite sur le taux de fixation

## INTERPRETATION

\* Nous remarquons sur les courbes (g.) que le taux du chrome fixé sur une masse constante de bentonite, augmente avec la concentration du Cr<sup>VI</sup> en solution. Cela peut s'expliquer par le fait qu'une forte concentration en Cr<sup>VI</sup> s'accompagnera d'une augmentation en force ionique et d'une importante diffusion des ions du Cr<sup>VI</sup> du milieu aqueux vers les bordures des sites de bentonites (29)

\* On constate aussi que chaque concentration en Cr<sup>VI</sup> donnée, il existe un rapport  $\frac{Y}{m}$  (maximale) correspondant au taux de fixation le plus élevé. Il est par exemple égal à 400 ml/g pour une concentration en Cr<sup>VI</sup> égale à 0,50 mg/l et 200 ml/g pour 0,925 mg/l. Il apparaît donc que la fixation des ions du chrome ne dépend pas seulement du nombre de sites dans la bentonite présente dans la solution mais aussi des ions du Cr<sup>VI</sup> résiduels dans celle-ci, ainsi que du nombre de sites non occupés et de leur nature géométrique et chimique (31).

\* Si la fixation est une conséquence d'un échange ionique, la concentration des ions M<sup>+</sup> libérés par la bentonite (qui se trouvent au sein de la solution) influent aussi sur le taux du Cr<sup>VI</sup> fixé

En conclusion on peut dire qu'une concentration de 5g/l de bentonite activée thermiquement à 200°C, donne le taux de fixation le plus élevé, pour des concentrations en Cr<sup>VI</sup> inférieures à 1mg/l environ.

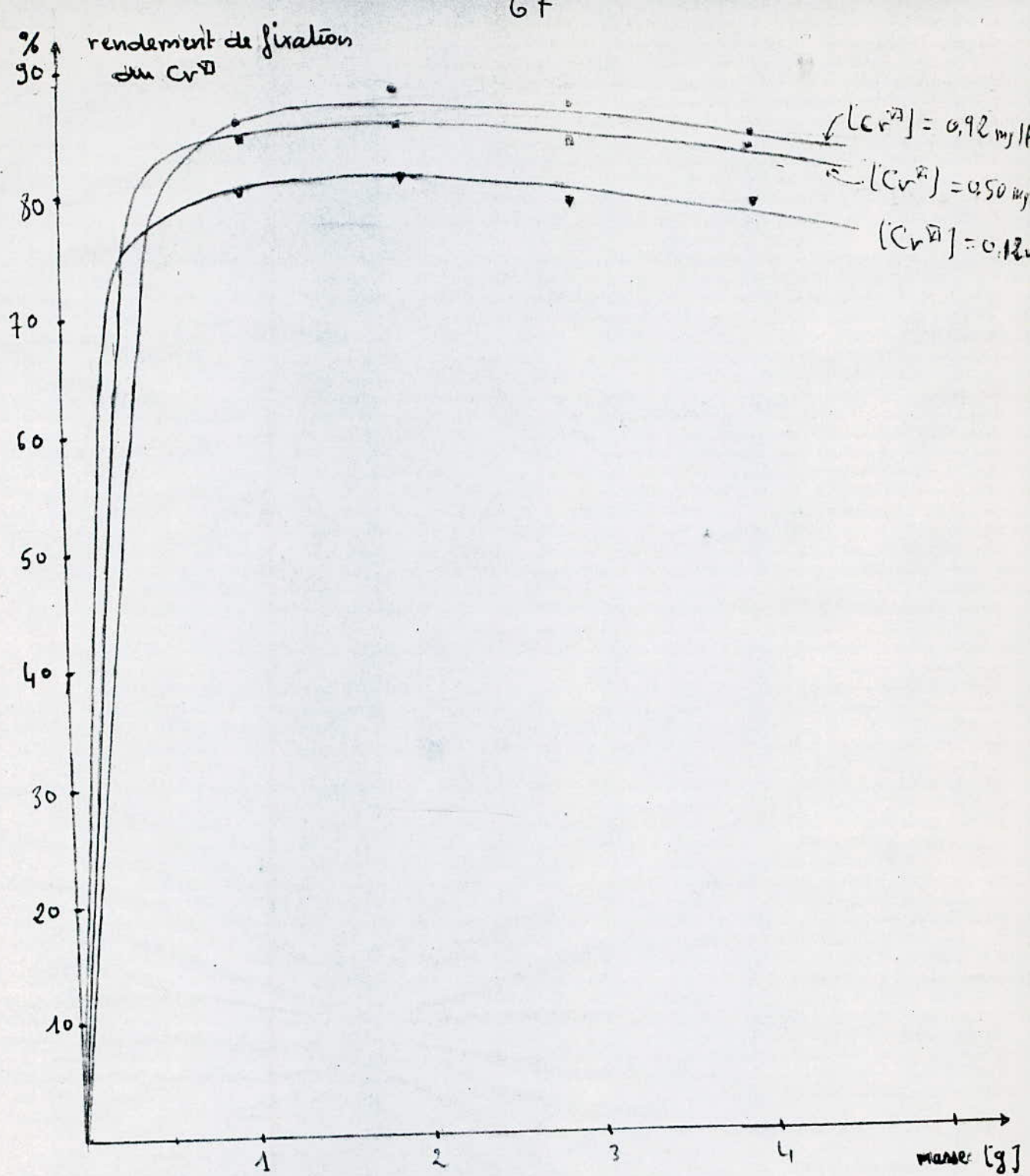


fig n°10 contact statique :  $V = 400 \text{ ml}$   
 $\text{pH} : \text{varie entre 6 et 7}$   
 $\text{temps de contact} : 30 \text{ min}$

Influence de la masse de la bentonite  
sur le rendement

## INTERPRETATION

- La fig (10) montre que le rendement de fixation du Cr<sup>VI</sup> ne dépend pas seulement du rapport  $\frac{V}{m}$  mais aussi de la concentration initiale en Cr<sup>VI</sup> dans l'eau.

Par exemple pour la concentration  $c = 0,92 \text{ mg/l}$  on a le rendement  $\alpha = 89\%$ , pour  $c = 0,50 \text{ mg/l}$  on a  $\alpha = 87,9\%$  et pour  $c = 0,12 \text{ mg/l}$  on a  $\alpha = 80\%$ . Le rendement augmente relativement avec la concentration. Cela peut s'expliquer par la grande diffusion du Cr<sup>VI</sup> du milieu aquatique vers les sites d'échange, qui (diffusion) augmente avec la concentration.

En conclusion: on peut dire, que la concentration du chrome résiduel après fixation sur bentonite est dans les normes.

par exemple pour une concentration de  $0,92 \text{ mg/l}$  on trouve  $0,097 \text{ mg/l}$  du Cr<sup>VI</sup> résiduel, pour  $c = 0,5 \text{ mg/l}$  on trouve  $(0,05)$  et pour  $c = 0,12 \text{ mg}$  on trouve  $(0,029) \text{ mg/l}$ .

## CONTACT DYNAMIQUE :

- Les conditions opératoires ont été prises les mêmes que pour le contact statique. Le temps de contact n'est pas le même pour les différentes opérations; il varie entre 28 et 36 minutes. Le diamètre des grains de bentonite ( $B_{200}$ ) est de 1mm. Comme il est signalé ci dessus, le temps de contact n'est pas pris constant pour toutes les opérations à cause du colmatage que présente la bentonite après son hydratation. Cela augmente les pertes de charge et par suite le débit de filtration. plus la couche de la bentonite dans la colonne est épaisse, plus cet effet est important

## MODE OPERATOIRE :

Il est décrit au chapitre (4).

## RESULTATS :

- Les résultats figurent sur les tableaux (16, 17 et 18)

Volume de la solution chromée : 500 ml

pH de la solution : 6,3

Température : 19,5

Temps de contact l'opération est variable

Concentration en Cr<sup>VI</sup> est de 0,92 mg/l

masse de bentonite (g)	DO	[Cr <sup>VI</sup> ] non fixé (mg/l)	[Cr <sup>VI</sup> ] fixé (mg/l)	rendement %
0,5	0,136	0,260	0,660	28,12
1	0,057	0,109	0,810	88,11
2	0,054	0,103	0,816	88,70
3	0,048	0,093	0,827	89,92
4	0,047	0,091	0,828	90,00

tableau n° (13)

### Contact dynamique

Volume de la solution chromée : 400 ml

pH de la solution : 6,1

Température : 19,5

Temps de l'opération variable

Concentration en Cr<sup>VI</sup> est de 0,50 mg/l

masse de B <sub>4</sub> (g)	DO	[Cr <sup>VI</sup> ] non fixé	[Cr <sup>VI</sup> ] fixé	rendement %
0,5	0,090	0,180	0,320	36
1	0,034	0,065	0,435	87
2	0,031	0,060	0,440	88
3	0,030	0,059	0,439	88,81
4	0,029	0,057	0,442	89,21

tableau n° (14)

### Contact dynamique

volume de la solution chromée : 400 ml

pH de la solution : 6,6

température : 20°C

temps de l'opération variable

Concentration en Cr<sup>VI</sup> est de 0,92 mg/l 0,12

masse du B <sub>4</sub> (g)	D 0	[Cr <sup>VI</sup> ] fixé [mg/l]	[Cr <sup>VI</sup> ] non fixé [mg/l]	rendement %
0,5	0,035	0,051	0,068	43,72
1	0,010	0,099	0,020	83,00
2	0,011	0,098	0,021	82,00
3	0,012	0,097	0,022	81,90
4	0,012	0,097	0,022	81,87

tableau n°15 Contact dynamique

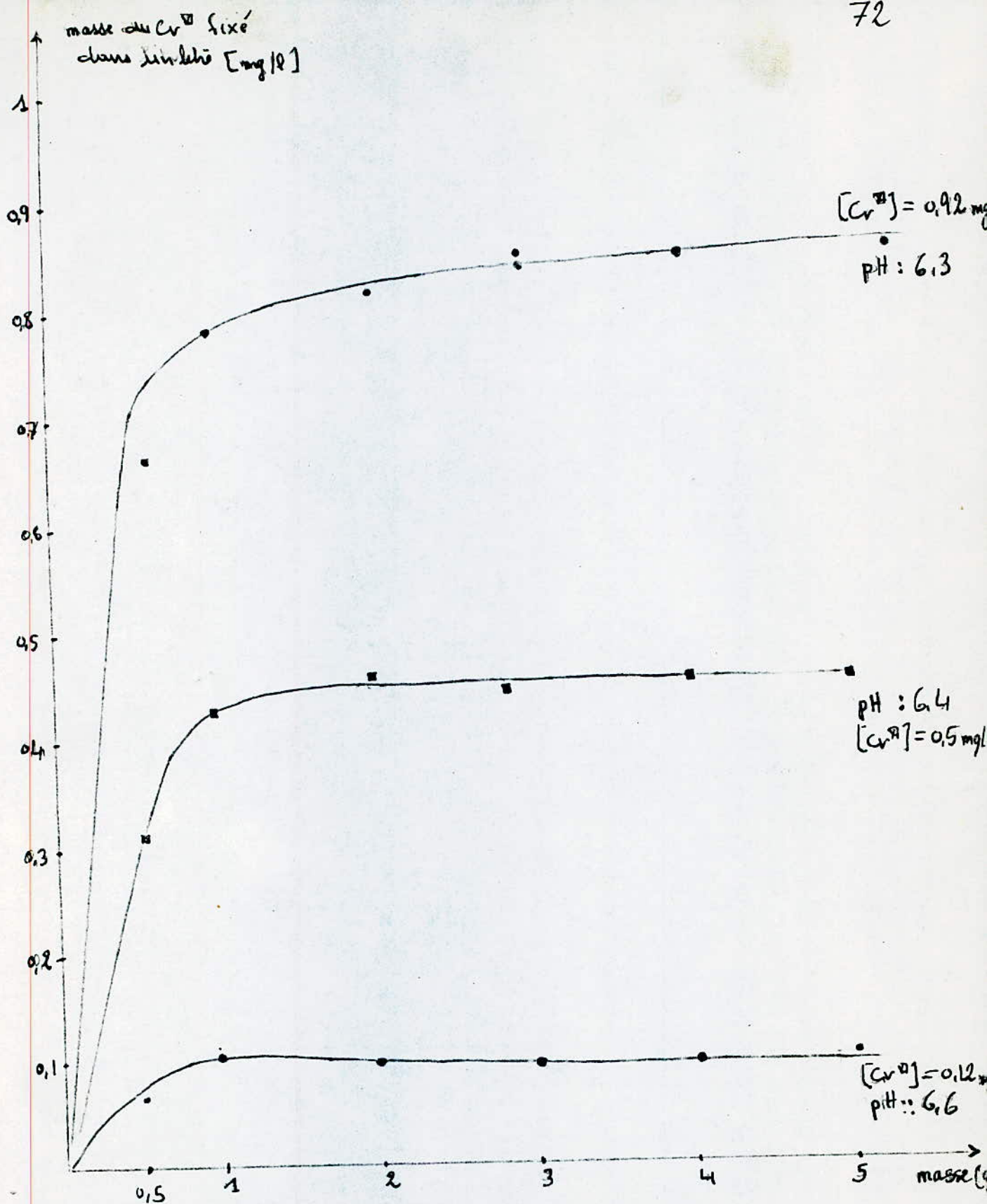


fig.1.1

Contact dynamique:  $V = 400 \text{ ml}$ 

Temps varie entre 25 et 30 min

 $T = 28^\circ\text{C}$ 

Influence de la masse de la bentonite sur le taux de fixation

### III ETUDE DE LA CINÉTIQUE :

Cette étude est principalement réalisée pour déterminer la durée de la réaction de fixation.

#### CONDITIONS OPERATOIRES :

- La masse de bentonite est prise 1g et les solutions ont des concentrations initiales en Cr<sup>VI</sup> 0,92, 0,50 et 0,12 mg/l. Le volume de la solution traitée est 200 ml.

Les mesures ont été faites pour différents temps de contact 3, 5, 10, 15, 20, 30 minute 1-2-4-6. 7 heures.

Les résultats sont représentés graphiquement sur la fig (11)

TABLEAU n° (19) :

- Taux du chrome fixé en fonction du temps :  
volume de la solution 400 ml.

$$\text{pH} = 7,2$$

masse de la bentonite 1g.

$$[\text{Cr}^{\text{VI}}] = 0,12 \text{ mg/l}.$$

$$\text{Rapport} = \frac{V}{m} = \frac{200}{1} = 200 \text{ ml/g}$$

concentration en  $K_2\text{CrO}_4$  est

(Concentration en Cr<sup>VI</sup> : c = 0,92 mg/l)

## REMARQUES

- Les courbes de la fig (12) montrent que le rendement de fixation pour un contact <sup>dynamique</sup> est un peu plus élevé que celui du contact statique. Le tableau ci dessous donne une comparaison entre les deux types de contact.

concentration $\text{Cr}^{+2}$ [mg/l]	contact dynamique		contact statique	
	rendement %	$\text{Cr}^{+2}$ non fixé mg/l	r %	$[\text{Cr}^{+3}]$ non fixé mg/l
0,92	90	0,092	89,18	0,117
0,50	88	0,060	88,18	0,059
0,12	83	0,020	82	0,021

On constate que la différence n'est pas significative.

La deuxième méthode présente des inconvénients à cause du colmatage de bentonite. Le colmatage de la bentonite dans la colonne empêche la percolation de l'eau à travers la couche solide.

En conclusion: On peut dire que ce type de contact n'est pratiquement <sup>pas</sup> possible, sauf peut-être si la bentonite est mélangée avec un autre solide granulaire indeformable en contact de l'eau, comme la silice pure par exemple, garantissant ainsi une percolation continue et régulière de la solution à traiter à travers le lit.

Rapport  $\frac{V}{m}$  = 200 ml/g

Concentration en Cr<sup>VI</sup> C = 0,12 mg/l

temps de contact [heures]	0,083	0,16	0,25	0,34	1	2	2 <sub>1</sub>	7	16
DO	0,012	0,013	0,014	0,011	0,013	0,015	0,014	0,014	0,013
chrome fixé [mg/l]	0,096	0,094	0,095	0,095	0,094	0,09	0,095	0,095	0,096
rendement %	80	79,00	79,32	79,32	79	77	79,32	79,32	79

tableau n° (16)

$$[\text{Cr}^{\text{VI}}] = 0,92 \text{ mg/l}$$

$$\frac{V}{m} = 200 \text{ ml/g}$$

temps de contact [heure]	0,083	0,16	0,25	0,34	1h	2h	4h	7h	16h
DO	0,056	0,057	0,053	0,055	0,056	0,057	0,053	0,057	0,057
chrome fixé [mg/l]	0,81	0,80	0,818	0,815	0,813	0,80	0,818	0,810	0,807
rendement	88,20	88	89	88,60	88,40	88	89	88	88,13

TABLEAU N° (20) 17

Rapport :  $\frac{V}{m} = \frac{200}{1} = 200 \text{ ml/g}$ .

Concentration en kg CrO<sub>4</sub> est :

concentration en Cr<sup>VI</sup>:  $c = 0,5 \text{ mg/l}$ .

temps de contact	0,083	0,16	0,25	0,34	1h	2h	4h	7	16
DO	0,040	0,032	0,036	0,037	0,036	0,034	0,033	0,032	
chrome fixé [mg/l]	0,423	0,438	0,439	0,429	0,439	0,435	0,437	0,438	
rendement	84,68	87,64	86,28	85,90	86,90	87	87,42	87,44	86,82

TABLEAU N° 18.

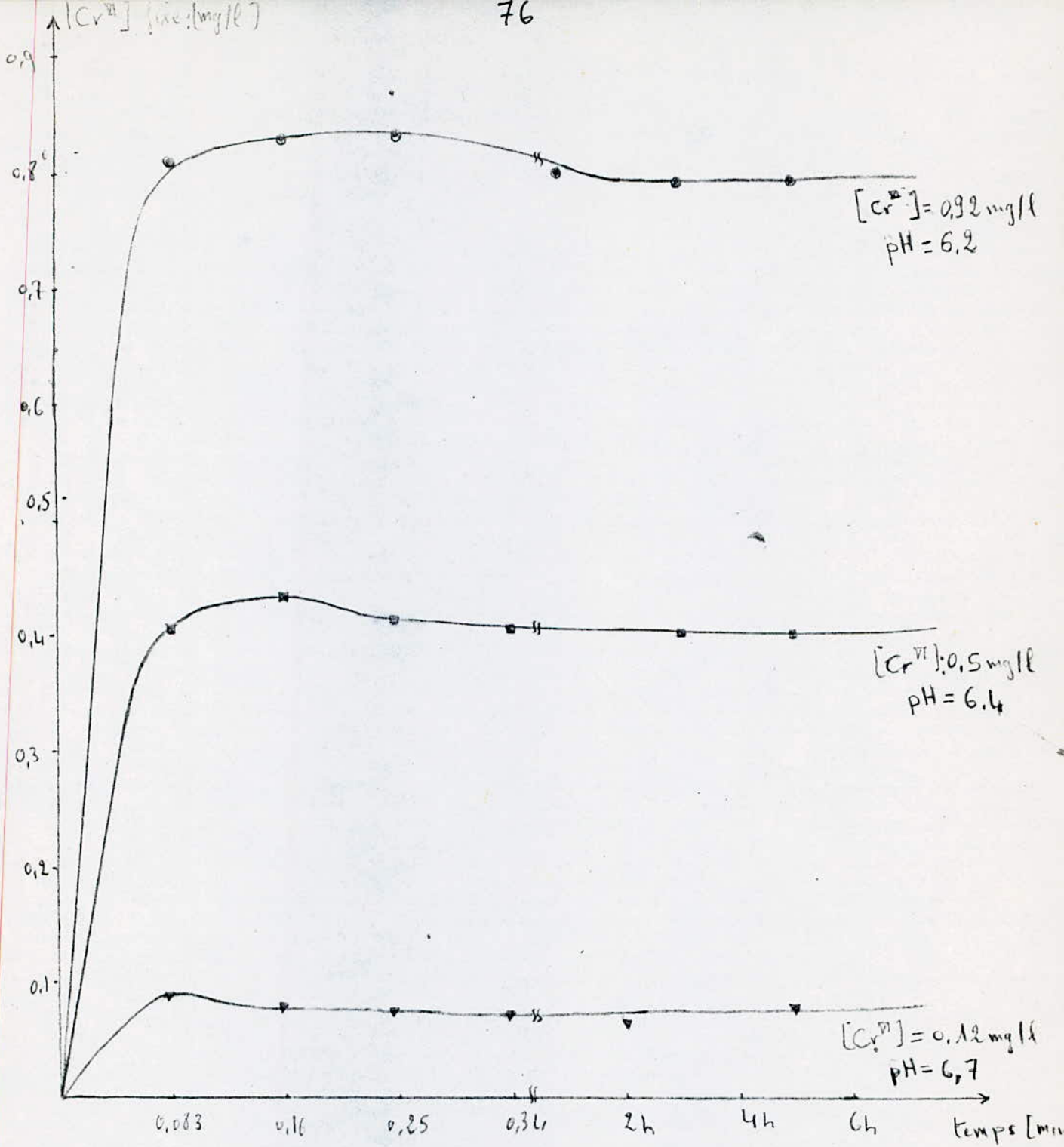


fig : 12

Contact statique:  $\frac{V}{m} = 200 \text{ ml/g}$

Cinétique de fixation

## INTERPRETATION:

- la fixation du Cr<sup>VI</sup> en fonction du temps est représentée sur la figure (12), montrent que l'opération de fixation est très rapide, pour une masse de 1g du Zg, dans un volume de 200ml de solution chromée, la fixation est pratiquement total au bout de quelques minutes. Elle se fait au bout d'environ 15 minute pour une concentration  $C = 0,925 \text{ mg/l}$  10 minute pour  $C = 0,5 \text{ mg/l}$  et environ 5 minute pour  $C = 0,12 \text{ mg/l}$ .

Après le temps correspondant à la fixation maximal on constate une légère diminution du taux de Cr<sup>VI</sup> fixé, dû probablement au repassage de quelques cations fixes sur le solide en solution, et cela quelque soit la concentration du Cr<sup>VI</sup> choisi en solution.

Puis la fixation cesse et un équilibre s'établit traduisant la stabilité de la phase solide par rapport à la phase liquide.

En conclusion on peut dire qu'une durée de 15 minute est suffisante pour une fixation complète du Cr<sup>VI</sup>. Cela pour un rapport égal à 200ml/g et une concentration inférieur à 1mg/l en Cr<sup>VI</sup>.

## INFLUENCE DU pH SUR LE TAUX DE FIXATION

- Pour l'acidification et l'alcalinisation des solutions à traiter on a utilisé les solutions de  $H_2SO_4$  (1N) et NaOH (1N). L'essai a été réalisé avec deux concentrations initiales en  $Cr^{VI}$ : 0,92 mg/l et 0,50 mg/l.

## CONDITIONS OPÉATOIRES

- Le volume de la solution à traiter est de 200 ml.  
 La durée de contact est de 30 minutes.  
 Quantité de la bentonite est de 1g.  
 Les résultats sont représentés graphiquement sur la fig (13).

### TABLEAU N° (22) :

Influence du pH sur le taux de fixation.

$$\frac{V}{m} = 200 \text{ ml/g.}$$

$$(Cr^{VI}) = 0,92 \text{ mg/l}$$

$$T = 22^\circ\text{C.}$$

Temps de contact : 30 minutes.

pH initiale	D0	[mg/l] Cr <sup>VI</sup> fixé	rendement %	pH final
2	0,028	0,055	94	2
3,5	0,053	0,101	89	7,9
5,2	0,057	0,109	88,13	8
6,2	0,054	0,103	88,75	7,2
8,5	0,053	0,101	89	10,2
11,5	0,048	0,022	90	11,3

$$\frac{V}{m} = 200 \text{ ml/g}.$$

$$C = 0,5 \text{ mg/l}.$$

$$T = 21^\circ\text{C}.$$

Temps de contact 30 min.

pH initial	00	Cr <sup>VI</sup> non fixé [mg/l]	Cr <sup>VI</sup> fixé [mg/l]	rendement %	pH final
2	0,010	0,020	0,480	96	2
3,5	0,038	0,073	0,427	85,40	8
5,2	0,040	0,077	0,423	84,60	8,2
6,4	0,040	0,076	0,423	84,60	7,9
8,5	0,039	0,074	0,425	85,10	10,2
11,3	0,033	0,063	0,436	87,30	11,0

labstan n° 20

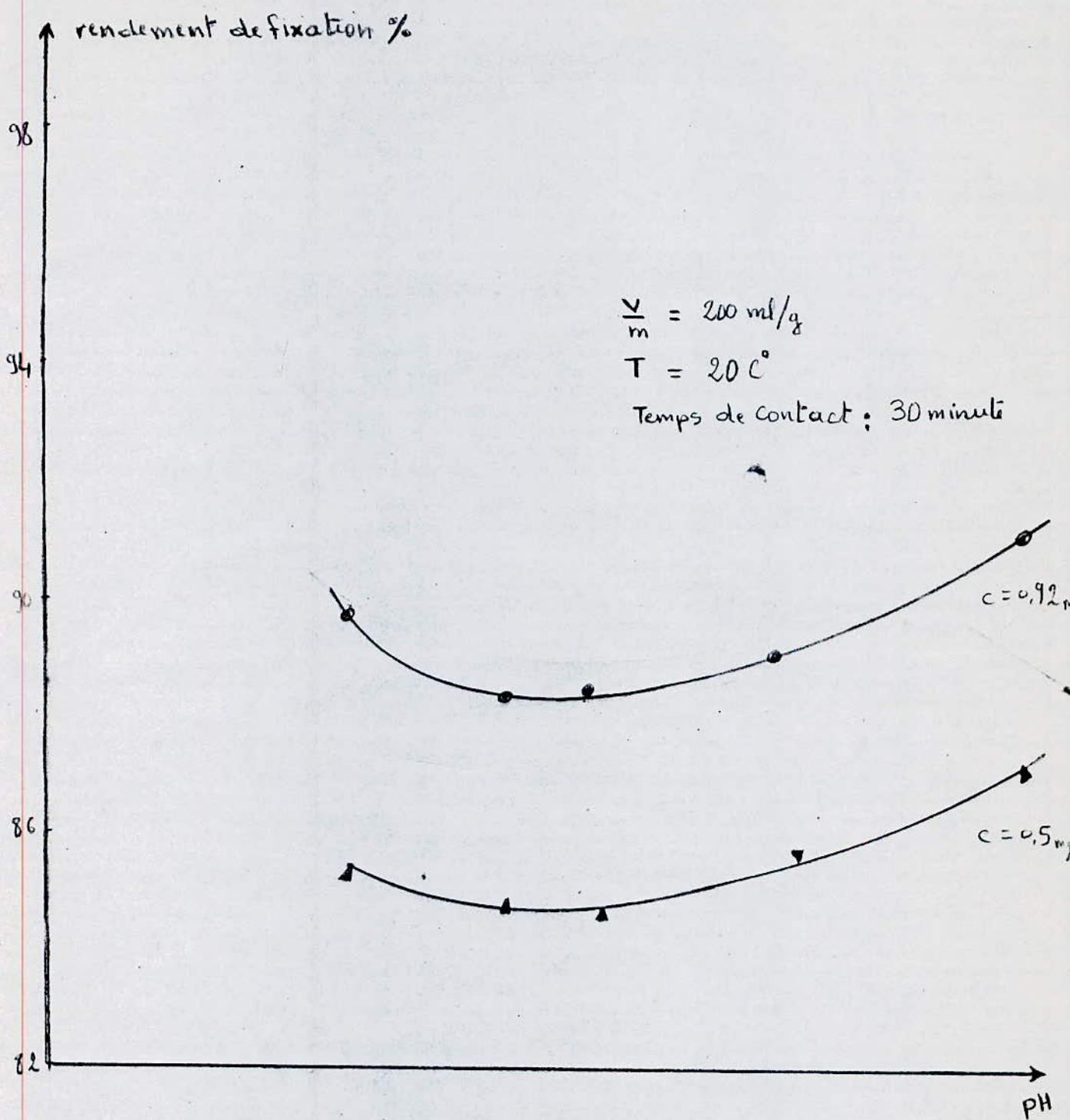


fig n°: 13.

contact statique :

Influence du pH sur la fixation du Cr<sup>VI</sup>

## INTERPRÉTATION

— Il apparaît de l'examen des courbes de la fig (13) que la fixation est favorisée aussi bien dans un milieu fortement alcalin que dans un milieu fortement acide.

En revanche elle est faible dans un milieu très peu acide ou très peu alcalin.

\* On remarque que le pH reste pratiquement constant lors de la réaction pour un milieu très acide ou un milieu fortement alcalin (voir tableau (23)).

Par contre dans un milieu peu acide ou peu alcalin le pH final augmente considérablement. On en déduit que dans les milieux très alcalins ou très acides la fixation des  $H^+$  est pratiquement nulle puisque le pH reste presque inchangé après l'opération de fixation.

La fixation des  $H^+$  dans les milieux peu alcalin ou peu acide empêche par conséquent la fixation des ions du chrome; par contre dans les milieux très acides ou très alcalins la non fixation des  $H^+$  laisse l'avantage au  $Cr^{VI}$  de se fixer.

Une autre hypothèse peut se poser, suivant laquelle :

Dans un milieu très alcalin, la densonite libérée des  $H^+$  ~~ex~~ laisse au  $Cr^{VI}$  la possibilité de se fixer pour rééquilibrer la charge totale de la maille de la bentonite (31).

## ANALYSES EFFECTUÉES SUR LES EAUX RÉSIDUAIRES DE L'ATELIER TE 8

- Notre étude s'intéresse plus particulièrement au traitement du chrome. Mais en vue de savoir les caractéristiques physiques et chimiques des eaux résiduelles provenant de l'atelier TE qui peuvent intervenir plus ou moins dans l'efficacité d'un tel traitement, nous avons dressé une liste des paramètres à analyser que nous avons jugés importants. Ces paramètres sont les suivants:

- Couleur.
- Odeur
- Matière en suspension MES.
- Demande chimique en oxygène DCO
- La température
- le pH.
- La conductivité.

## INTÉRETS ET MESURES DE QUELQUES PARAMÈTRES

- Le pH est par définition une mesure de l'activité des ions  $H^+$  contenus dans une eau :

$$pH = - \log(H^+)$$

L'échelle de pH, logarithmique s'applique pour des activités comprises entre  $10^{-14}$  ( $pH = 14$ ) et 1 ( $pH = 0$ )

il faut rappeler que le pH est un facteur extensif fonction des seuls ions  $H^+$  présents.

Du fait de l'équilibre de dissociation de l'eau le pH est relié à la teneur en ions  $OH^-$ ; il est aussi à l'acidité et l'alcalinité de l'échantillon plus généralement, Les ions  $H^+$  interviennent dans nombreux équilibres si bien que le pH du milieu influence la position de ces équilibres comme nous l'avons affirmé nous aussi, dans la partie précédente de fixation du Cr<sup>VI</sup> en laboratoire.

### TEMPERATURE :

- La température est un paramètre qui intervient dans toutes les sortes d'activités, qu'elles soient <sup>en</sup> biologique ou chimique elle est l'un des paramètres à mesurer et noter sur place, au moment du prélevement et cela quelles que soient les analyses à effectuer par la suite.

### MATIÈRE EN SUSPENSION MES :

- On détermine la quantité de MES par pesée du filtre en fibre de verre utilisé pour filtrer un volume donné d'échantillon (après assèchement de ce filtre à 105°C). Cette quantité de matière est une caractéristique beaucoup plus importante des eaux usées.

$$\text{MES (mg/l)} = \frac{P \left( \begin{array}{l} \text{filtre + retenue} \\ \text{secchés à } 105^\circ\text{C} \end{array} \right) - P \left( \begin{array}{l} \text{filtre secché à } 105^\circ\text{C} \\ \text{Jusqu'à poids constant} \end{array} \right)}{V/1000}$$

P : poids exprimé en mg.

V : volume de l'échantillon filtré.

## DEMANDE CHIMIQUE EN OXYGENE DCO :

— La DCO est une mesure de toutes les matières organiques (ou presque) contenues dans les eaux naturelles ou usées qui elles soient ou non biodégradables. La DCO constitue un paramètre important, c'est un test rapide très utile pour la surveillance des rejets industriels (surtout ceux à caractère toxique qui se prêtent mal aux mesures de DBO).

En ce qui concerne la méthode d'analyse (voir Annexe)

## LA CONDUCTIVITÉ :

— Par définition la conductivité k (kappa) est l'inverse de la résistivité et elle est uniquement fonction de la nature de solution (chimie des eaux). L'unité de conductivité est  $\Omega^{-1}(\text{ohm}\times\text{m})^{-1}$  ou le siemens/m ( $\text{s}/\text{m}$ ). Les conductivités des solutions, généralement faibles sont souvent exprimées en microsiemens/m ou en  $\mu\text{s}/\text{cm}$  ( $1\text{ }\mu\text{s}/\text{cm} = 10^{-4}\text{ s}/\text{m}$ ).

85

La conductivité est une mesure rapide de la teneur globale en électrolytes d'une solution. La mesure est effectuée à l'aide de conductimètre avec une cellule d'une constante connue  $k$ . Donc, pour calculer la conductivité  $K$  d'un échantillon quelconque, il suffit alors de multiplier sa conductance  $C$  lue sur l'appareil par la constante  $k$  de la cellule :  $K = kC$ .

## ECHANTILLONNAGE :

### INTRODUCTION :

— Quelle que soit la qualité d'une analyse son résultat n'est valable que dans les conditions suivantes :

→ L'échantillon analysé n'est pas altéré entre le moment de prélèvement et celui de l'analyse.

→ L'échantillon analysé est bien représentatif de la masse d'eau considérée.

## TYPE D'ECHANTILLONNAGE<sup>N</sup> :

— Selon la fréquence d'échantillonage on a : échantillonage ponctuel, échantillonage continu, échantillonage périodique et finalement échantillonage intégré (voir chimie des eaux). (32)

A cause des moyens limités, nous avons effectué un

échantillonage intégré; car celui-ci permet de réduire le nombre d'analyses.

On mélange les échantillons périodiques on préleve à différents endroits pour former un seul échantillon moyen. (chimie des eaux).

## CONSERVATION DES ÉCHANTILLONS:

- Pour stabiliser nos échantillons, ou du moins pour ralentir les réactions éventuelles, on a pris pour chaque analyse des précautions particulières (tableau 1).

Dans les cas mes échantillons ont été réfrigérés à 4

analyse	contenant	Précaution	durée max
Matière solide (MES)	PV	Ref 4	7 jours
DCO	PV	H <sub>2</sub> SO <sub>4</sub> PH < 2	7 heures
Cr <sup>VI</sup>	PV	HNO <sub>3</sub> PH < 2	6 mois
odeur	V	Ref 4°	24 jours
couleur	V	Ref 4	24 heures
chlorure	PV	Ref 4	7 jours
phosphate	V	Ref 4	7 jours

legende V: flacon en verre P: flacon en plastic

Ref: "réfrigéré"

## POINT DE PRÉLEVEMENT

- Les prélevements ont été effectués en amont (à l'entrée) et en aval (à la sortie) de la station d'épuration qui existe au complexe.

## MESURES SUR PLACE

- Certaines de nos analyses ont été effectuées sur place immédiatement après le prélevement. C'est le cas de la mesure de la température et du pH.

Peintures  
 Cabines  
 BLANCOMME VALENTINE

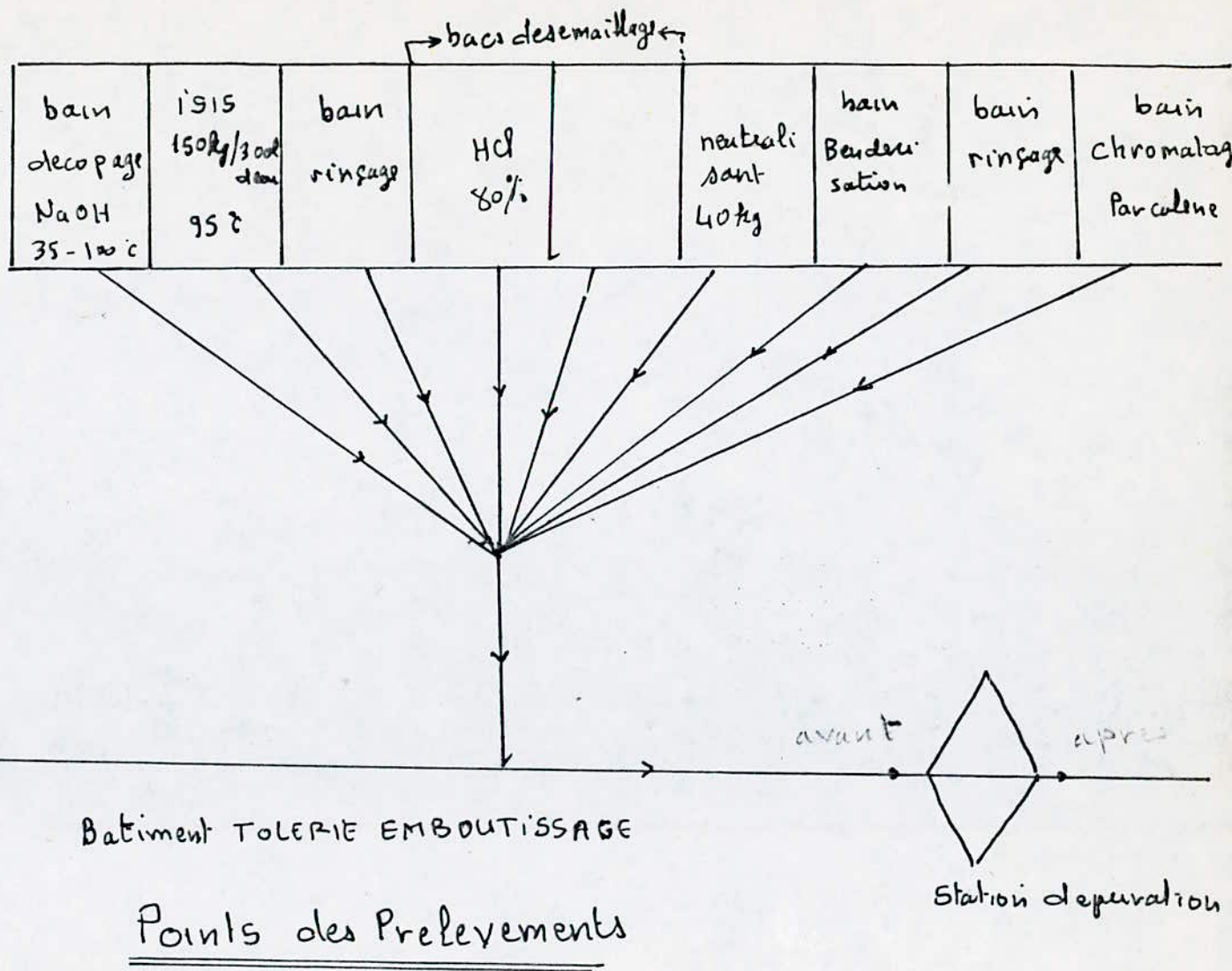


fig ( )

# RESULTATS DES ANALYSES :

1er echantillon 29/03/87

Parametre	Avant traitement	Apres traitement
Odeur	Mazoute	Mazoute
Couleur	grise	grise
T (C)	19	18
pH	7,2	8,1
Conductivite (ms cm <sup>-1</sup> )	1,85	2,00
MES (mg/l)	92	120
DCO	572	602
Cr <sup>VI</sup> mg/l	0,925	0,40

2<sup>eme</sup> echantillon 7/04/87

Echantillon	Avant traitement	Apres traitement
Odeur	Mazout	Mazout
Couleur	grise	grise
Temperature	20,0	18,0
pH	7	7,3
MES (mg/l)	130	35,5
Chlorure	9	traces
DCO (mg/l)	187	175
Cr <sup>VI</sup> (mg/l)	0,508	traces

3<sup>eme</sup> échantillon 14/04/87

échantillon	Avant traitement	après traitement
odeur	Mazout	Mazout
couleur	blanche	blanc sale
Temperature	19	19,5
pH	7,2	7,2
conductivité	2	2
MES (mg/l)	150	85
Cr <sup>VI</sup>	0,092	0,00

Échantillon n°4 20/04/87

Paramètre	Avant traitement	Station en panne
odeur	Mazout	,
couleur	blanche	
T	22°C	
pH	6,9	
conductivité (ms/cm)	1,65	
MES	811	
Cr <sup>VI</sup> (mg/l)	0,30	
DCO	732	

Analyses faites à la EREMEchantillon n°5 1

Parametre	Avant traitement	Apres traitement
Odeur	Mazoute	Mazoute
Couleur	gris-rouge brûlé	grise
T	18	18,5
pH	10,6	7,6
Cr VI (mg/l)	trace.	1
Fer (mg/l)	0,85	0,17
*		
*		

Echantillon n°6 29/04/87

Parametre	Avant traitement	Apres traitement
Odeur	Sans	1
Couleur	Blanche	Blanc sale
T (c)	20	19
pH	7,4	6,9
Cr VI (mg/l)	0,75	0,00
Fer (mg/l)	0,60	0,14

92

# DECHROMATATION D'ÉCHANTILLON PAR LA BENTONITE (B<sub>2</sub>O<sub>3</sub>).

## MODE OPERATOIRE :

- On filtre l'échantillon. On prend ensuite 200ml de filtrat. On le traite avec 1g de B<sub>2</sub>O<sub>3</sub>.

La detoxication est faite par contact statique. Après 20 minutes on arrête l'agitation et on filtre la solution sous vide, par un filtre de verre fritté.

A 50 ml du filtrat, on ajoute 2,5 ml d'acide carbajide. Après 10 minutes, il sera prêt au dosage colorimétrique.

les résultats figurent sur le tableau suivant :

pH initial	N° d'échantillon	[Cr <sup>VI</sup> ] initial [mg/l]	[Cr <sup>VI</sup> ] résiduelle [mg/l]	rendement %	pH final
7,2	1	0,925	0,104	88,67	8,1
6,9	4	0,801	0,023	86,16	1,5
7	2	0,508	0,081	87,50	8
7,2	3	0,092	0,009	80,22	7,8
7	5	0	/	/	/
8,7	6	0,750	0,093	87,58	7,9

Tableau n° 27.

## REMARQUES

— On constate que les pH des solutions après traitement par la bentonite ( $B_{200}$ ), sont conformes aux normes internationales ( $6,5 \leq \text{pH} \leq 8,5$ ). Cela est dû au caractère alcalin de la  $B_4$ . L'examen des valeurs du  $\text{Cr}^{VI}$  résiduelles après traitement, nous conduit à estimer que  $0,8 \text{ mg/l}$  est la concentration maximale qui donne après fixation sur la bentonite, une concentration en  $\text{Cr}^{VI}$  résiduel conforme aux normes. ( $< 0,1 \text{ mg/l}$ ).

## CHAPITRE 8:

### **DECANTABILITE DE LA BENTONITE**

I/ Mode opératoires

II/ Résultats et Interprétation.

## ETUDE SUR LA DECANTATION DE LA BENTONITE

- L'efficacité d'un traitement par la bentonite (By) dépend beaucoup de sa décantabilité, et aussi de la concentration de ses particules qui reste en suspension. En effet, les particules du By présentées dans les surnageants portent par fixation une quantité du Cr<sup>VI</sup>. De ce fait, le degré de detoxication diminue.

### MODE OPERATOIRE :

- Dans une colonne de verre, graduée, on introduit 5g du B<sub>2</sub>O<sub>5</sub> dans un litre d'eau. On agite la solution pendant quelque minutes pour qu'elle soit homogène, à un instant zéro on commence à suivre la descente de la phase en fonction du temps (voir schéma).

Les résultats figurent sur le tableau n° (28.).

- Quand la décantation est terminée, on préleve 100ml de la solution surnageante, prenant soin de ne pas agiter les boues déposées au fond de la colonne.

On filtre sur papier filtre plissé. On met le papier filtre à sécher dans l'étuve. Après 2h, on pèse et on détermine la quantité de matière en suspension retenue par le filtre. voir tableau n° (28.).

### REMARQUE :

- On a fait l'expérience pour deux types d'eau:

L'eau de robinet ( $\text{pH}=7,3$ ) et l'eau usée chromée ( $\text{pH}=7,2$ )

Eau de robinet				Eau usée			
1 <sup>er</sup> essai		2 <sup>em</sup> essai		1 <sup>er</sup> essai		2 <sup>em</sup> essai	
temps [min]	H [graduation]	temps [min]	H [graduation]	temps [min]	H [grad]	temps [min]	H [gra]
0	0	0	0	0	0	0	0
5	200	5	150	1	150	1	200
10	500	10	400	2	500	2	400
12	600	12	500	3	700	3	500
15	700	15	750	4	750	4	700
17	800	18	800	5	780	5	760
20	820	20	880	6	800	6	810
22	860						
MES [mg/l]	1415	15		4			3,5

Tableau n°(28)

## REMARQUES ET INTERPRETATIONS

- La bentonite dans l'eau est facilement séparable par décantation. Elle se décante presque totalement au bout de 20 minutes dans une eau ordinaire et au bout de 6 minutes environ dans les eaux usées chromées.
- Dans les eaux usées chromées la bentonite forme un précipité

volumineux très adsorbant ; on assiste ainsi à une décantation très rapide. On déduit de cela que les eaux résiduaires chromées de la SNVI contiennent des cations flocculants. Il y a une forte possibilité qu'il s'agisse des cations ferrugines tels que  $\text{FeCl}_3$ .

On remarque aussi que la masse de bentonite en suspension dans les eaux usées chromées après la décantation est beaucoup plus faible que celle dans l'eau ordinaire. Cela traduit par une <sup>bonne</sup> flocculation.

Notons que le phénomène de flocculation est dû à deux processus successifs :

Il faut tout d'abord une diminution de la charge électrique qui permette à deux particules se heurtant sous l'influence du mouvement brownien, de rester accolées l'une à l'autre. Le deuxième processus concerne le mécanisme de l'association des particules (32).

## CONCLUSIONS GÉNÉRALES ET RECOMMANDATIONS

- ① - Les normes imposent pour les rejets un pH compris entre 6,5 et 8,5. Les eaux chromeées sont souvent acides et elle exigent une neutralisation avant leur rejet.  
Cela ne sera pas nécessaire si ces eaux sont traitées par la bentonite BY à caractère alcalin (chap 5).
- ② - L'avantage que nous avons d'utiliser la bentonite, est qu'elle est séparable rapidement, et ceci par décantation.
- ③ - La bentonite présente quand même quelques inconvénients pour son utilisation, soit en contact statique où son volume augmente ce qui demande des grands décanteurs soit en contact dynamique où la percolation devient faible très rapidement.
- ④ - En basant sur nos résultats et sur ceux de MAMAN (35) nous pouvons dire que la bentonite activée thermiquement à 200°C est plus efficace que celle activée à 100°C qui est elle-même meilleur que la bentonite naturelle.  
Nous nous posons la question de savoir s'il est vraiment rentable pour nous d'utiliser l'activation thermique comme source d'amélioration de capacité de fixation; le coût économique dû à cette activation étant élevé par rapport à la faible amélioration de la fixation engendrée.  
Le choix pour l'utilisation d'une bentonite est lié directement

au degré d'épuration qu'il subit l'eau, car la concentration du chrome résiduel est proportionnelle à la concentration de chrome présent dans la solution avant la fixation. Notons que dans une unité industrielle l'affluent chromé est souvent dilué par d'autres affluents de nature polluante différente.

La  $B_{200}$  a un rendement de fixation d'environ 88%, celui de la  $B_{100}$  85% environ [cela pour une concentration à raison 0,5mg/l]. Une solution d'une concentration inférieure à 0,8mg/l traitée par la  $B_{200}$  aura une concentration résiduelle conforme aux normes ( $< 0,1\text{mg/l}$ ) il est de même pour une solution de concentration inférieur à 0,6mg/l traitée par la  $B_{100}$ . Nous ne nous voyons l'intérêt de préférer la  $B_{200}$  à la  $B_{100}$ , quand il suffit simplement de diluer les solutions chromées.

- (5) - Nous suggérons à ceux qui continueront notre travail de faire une étude sur la génération de la bentonite. Si le taux de régénération est faible, des questions sur l'utilité de la bentonite pour l'élimination du chrome restent posées.
- (6) - Théoriquement 1kg de chrome nécessite pour le traitement 0,74 kg de  $\text{H}_2\text{SO}_4$  et 1,56 kg de réducteur ( $\text{NH}_4\text{SO}_3$ ). Un traitement à la bentonite nécessite 500 kg de bentonite toujours pour traiter 1kg [c.a.d un litre d'une solution chromée d'une concentration de 0,5mg/l]

99

demande 2,5 g de bentonite, ce qui fait 1g du chrome  
demande 5000 g de  $B_4$  et 1 kg demande 5 tonnes ].  
Donc pour savoir si l'utilisation de la bentonite est  
rentable il faut faire une évaluation économique.

## ANNEXE 1:

### PRÉPARATION DE SOLUTIONS ACIDES :

- Pour préparer une solution 1N de  $\text{CH}_3\text{COOH}$  à partir d'un acide acétique concentré dont  $d = 1,05$  et pourcentage en acide est 99% on fait le calcul suivant:

- de l'acide =  $\frac{1050 \times 99}{100} \text{ (g/l)} = 1039,5 \text{ g/l}$

- masse d'un équivalent gramme :

$$\text{eq} = \frac{\text{masse molaire}}{\text{valence}} = \frac{60}{1} = 60 \text{ g}$$

nbre d'équivalent gramme par litre (Normalité)

$$N = \frac{\text{masse de l'acide dans un litre.}}{\text{masse d'équivalent gramme.}} = \frac{1039,5}{60} = 17,32$$

Donc l'acide est 17,32 fois normale.

Pour préparer 1 l une fois normale on prend:

$\frac{1000}{17,32}$  ml de l'acide acétique concentré et on le remplit à un litre.

La même opération se fait <sup>avec</sup> les autres acides, prenant en considération la valence.

## ANNEXE 2:

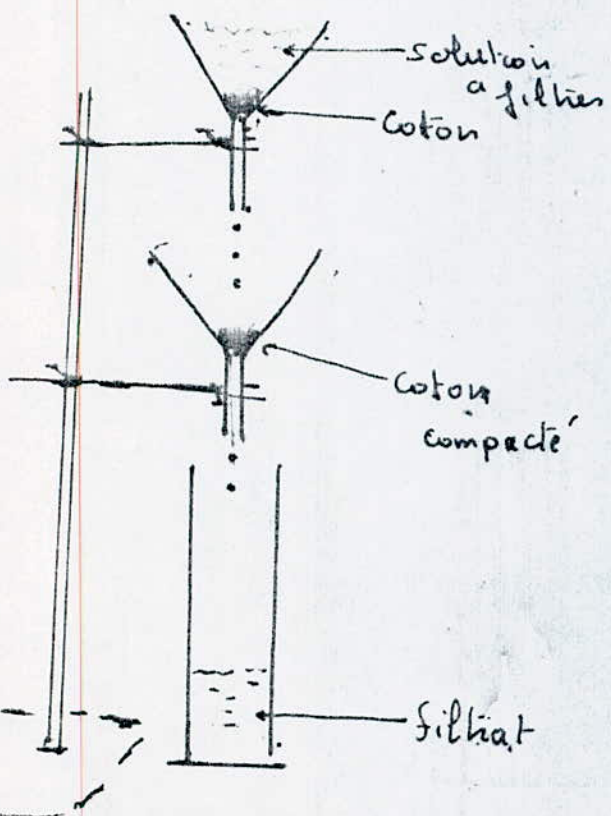
### PRÉPARATION DE L'ACIDE DIPHYNILE CARBAZIDE :

- On introduit 2g de diphenile carbazide dans

100 ml de l'alcool éthylique et 400 ml de l'acide sulfurique 2N. (L'ensemble doit être mis dans un flacon coloré) On agite la solution jusqu'à la dissolution complète de diphénile carbazide. après quoi il est prêt à l'usage.

### ANNEXE 3 : FILTRATION

- Pour l'analyse du Cr<sup>III</sup> en laboratoire nous avons utilisé le système de filtration suivant. (Schéma 1)



(Schéma 1)

cette méthode nous permet de contrôler le temps de filtration.

par exemple pour récupérer 50 ml de filtrat il faut un temps maximum de 4 min environ on estime dans ce cas que le temps de contact supplémentaire dédié à la filtration par:

$$\left( \frac{4}{2} = 2 \text{ minutes} \right)$$

temps du contact = temps d'agitation + temps de filtration (2 min)

par exemple si on veut un temps de contact de 5 minutes on donne à l'agitation (contact statique) 3 minutes et on donne à la filtration 4 minutes.

pour la filtration de l'échantillon nous avons utilisé la filtration sous vide par un filtre de fibre en verre.

#### ANNEXE 4

#### MESURE DE LA DCO:

##### REACTIFS:

- Solution de bichromate de potassium  $K_2Cr_2O_7 \approx 0,25 \text{ eq/l dm}^3$ .
- Dissoudre dans l'eau destillée 12,259 g de  $K_2Cr_2O_7$  de qualité étalon primaire, séché 2 heures à  $105^\circ\text{C}$  ajusté à  $1 \text{ dm}^3$ .
- Acide concentré  $H_2SO_4 - Hg_2SO_4$ : Ajouter g de sulfate d'argent  $Hg_2SO_4$  à une bouteille de  $H_2SO_4$  concentré ( $\approx 2 \text{ kg}$ ) (la dissolution prend 1 à 2 jours).
- Solution de SFA  $\approx 0,1000 \text{ eq/l dm}^3$ : Dissoudre g de sulfate ferreux d'ammonium  $Fe(SO_4)_2 \cdot (NH_4)_2SO_4 \cdot 6H_2O$  dans l'eau destillée ajouter  $20 \text{ cm}^3$  de  $H_2SO_4$  concentré, rebödin et diluer à  $1 \text{ dm}^3$ . Déterminer le titre exact de cette solution chaque jour (voir mode opératoire).

- Dissoudre 1,485 g d'orthophénanthroline monohydraté et 695 mg de  $\text{FeSO}_4 \cdot 7\text{H}_2\text{O}$  dans l'eau distillée Diluer à  $100 \text{ cm}^3$ .

- Sulfate mercurique  $\text{HgSO}_4$ :

En cristaux

- Acide sulfanique:

pour déterminer l'interférence due aux nitrites, ajouter, dans le ballon, 10 mg d'acide sulfanique par mg de Nitrites (en mg de N)

$\text{H}_2\text{SO}_4$  concentré.

- A ne pas confondre avec celui contenant  $\text{Hg}_2\text{SO}_4$ .

Mode opératoire:

Détermination du titre exact du S.F.A (voir chimie des eaux)

Oxydation:

Dans un ballon rodé de  $250 \text{ cm}^3$  à fond plat de référence, introduire 0,4 g de  $\text{HgSO}_4$  (attention,  $\text{HgSO}_4$  est toxique). Ajouter  $20 \text{ cm}^3$  de l'échantillon étudié ou une portion diluée. L'eau est très riche en matière organiques. Ajouter  $10,0 \text{ cm}^3$  de  $\text{K}_2\text{Cr}_2\text{O}_7$  et  $30 \text{ cm}^3$  d'acide  $\text{H}_2\text{SO}_4 + \text{Ag}_2\text{SO}_4$ ) l'addition de l'acide doit être lente, par portions et en refroidissement au besoin. Agiter par rotation pour bien homogénéiser le mélange avant.

de commencer à chauffer : vérifier qu'il n'y a qu'une seule couche. Ajouter des billes de verre propre pour régulariser l'ébullition. Lors de l'introduction des réactifs et en particulier de  $HgSO_4$  éviter de solir le rodage du ballon.

Ne pas appliquer de graisse sur le rodage du réfrigérant. Au besoin, utiliser un peu d'acide sulfurique concentré sur une arête, fermer le montage et tourner le ballon pour repartir l'acide. La circulation de l'eau dans le réfrigérant doit être ascendante. Faire le montage au dessus du centre d'une plaque chauffante : l'ensemble doit être stable, vertical et compacter suffisamment de pinces.

- faire un deuxième montage identique pour le témoin opérer comme ci-dessus mais remplaçant l'échantillon par un égal volume d'eau distillée.
- Partir à reflux pendant 2 heures ; surveiller le chauffage tant que l'ébullition n'est régularisée.

### DOSAGE :

- Refroidir, rincer l'intérieur du réfrigérant avec quelques jets d'eau distillée. Ouvrir le montage. Ajouter de l'eau distillée dans le ballon jusqu'à un volume total de  $140\text{ cm}^3$  environ. Quand le tout est bien refroid ajouter 3 gouttes de fer et titrer lentement le bichromate

residuel par S.F.A contenu dans la burette, noter les chutes de burettes.

a) pour le temoир et b) pour l'échantillon mesurer ainsi la DCO =  $\frac{(a-b) \times N_{SFA}}{Y_{ech}} \times 8000$  en mg/l.

### ANNEXE 5:

Dosage du Fer par spectrométrie d'absorption atomique(2)

Conditions opératoires :

longueur d'onde 213,3 nm

Flame Air / Acétylène Air 5L / mn

acétylène 1L / mn

### ANNEXE 6

Concentrations limites du rejet après traitement

Milieu receiteur : eau de surface

Paramètres	Valeurs limites maximales
pH	6,5 à 8,5
température (C)	30
matière en suspension mg/l	20,000
DBO <sub>5</sub>	30,000
DCO	90,000
teneur en chrome	0,10
teneur en fer (mg/l)	1,00

\* D'après le centre d'étude et de réalisation en urbanisme (URBASE), annexe 1, chapitre 1

# BIBLIOGRAPHIE

1. AROUA - A - Sante et environnement ALGER ENL 1985 .
2. ALEXEEV. V - Analyse qualitative Moscou Ed MIR 1980 .
3. ALEXEEV. V - Analyse quantitative Moscou Ed MIR 1980 .
4. AUSTERWELL " L'échange d'ions et les échangeurs"  
GAUTIER VILLARS éditeurs
- 5 AUSTEWELL & R VINCEN " Echange d'ion technique de  
l'ingénieur J 2750 1977.
- 6 N. ABSI et D. HARIK : Utilisation des bentonites comme  
catalyseurs de reforming - Projet de fin d'étude 2/1988
- 7 BEAUDRY J. P " Traitement des eaux " le griffon d'argile inc 1981
- 8 BELAROUSSI. S & LAKSRI. A : Contribution à l'étude de la  
capacité sportive des minéraux Argileux de  
l'oued REGHAIA .  
Projet de fin d'étude Janvier 1987.
- 9 BENDJAMAA. " Etude des bentonites Algériennes - Application  
à la décoloration des huiles.  
Thèse de Magister Juin 1981.
- 10 BENDJAMAA. " Sorption du mercure par les bentonites  
Algériennes activées.  
Thèse Magister Juin 1982.
- 11 M. BENADJI " Capacité d'une bentonite Algérienne à fixer l'uranium  
- Projet de fin d'étude Janvier 1984.

12. BELHOCINE - "Fixation du cadmium sur la bentonite.  
Projet de fin d'étude Juin 1983.
13. F BENZESSIOUER "Etude de la fixation du plomb dissous par une bentonite - Projet de fin d'étude 1/1984
14. CAILLER et S. HENIN "minéralogie des argiles"  
Masson et Cie Editeur 1960.
- 15 S CHITOUR - "chimie physique des phénomènes de surface"  
Alger Opu 1979.
- 16 S. CHITOUR et J.U VERGN "Chimie moderne"
- 17 DERVICHIAN B.G.G.R (1944) 219679 .
- 18 ECHENFELDER. W.W "gestion des eaux usées urbaines et industrielles - Technique et documentation  
Lavoisier 1982
- 19 JANCOVIC (OMS): Manuel de chimie de l'environnement  
(OMS 1974 Genève)
- 20 LEVESQUE-L "Micropolluant minéral dans les eaux superficielles. (Cr, Cu, Ni) n°6  
AFEE PARIS 1979.
- 21 A MAMAN : "Etude de fixation du Cr<sup>VI</sup> sur une bentonite algérienne"  
Projet de fin d'étude Janvier 1987
- 22 MOHALLBI : "Contribution à l'étude des bentonites et charge de cation Cu<sup>++</sup> et Zn<sup>++</sup>"  
Thèse magister Janvier 1983.

- 23 B NEKLASSON "Précis de chimie minérale"
- 24 OUCHARENCO F-D "Propriété des argiles et minéraux argileux"  
A-N USSR KIEV 1969.
- 25 RODIER -J "Analyse de l'eau eaux naturelles eaux résiduaires  
et eaux de mer"
- 26 SAVIDAN "Les résines échangeuses d'ions"  
Paris DUNOD 1965.
27. S. SEMSARI "Etude de la fixation du plomb dissous par  
une bentonite activée thermiquement à 320°C"  
Projet de fin d'étude.
- 28 SOUCHAY "Ions minéraux condensés"  
Masson et Cie éditeur 1964.
- 29 SOUCHAY "Polyanion et polycation" Gauthier VILLARD  
Paris 1963
- 30 SCHLICKE. H-M "Application des ferrites et céramique"  
TRAD Paris 1965.
- 31 PANNETIER G "SOUCHAY (P) "Chimie générale cinétique  
chimique" Paris masson 1964
- 32 . TARDAT HENRY. M BAUDRY J.R - "chimie des eaux"  
Griffon d'angil inc 1984
- 33 P. PASCAL "Nouveau traité de chimie minérale" Vol III
- 34 WEINER. R "Épuration des eaux résiduaires dans la  
transformation et la galvanisation des métaux"  
EVROLES 1975.





